



ISSN 0347-8165

## GEOHYDROLOGISKA FORSKNINGSGRUPPEN

Institutionerna för:

Geologi

Geoteknik med grundläggning

Vattenbyggnad

Vattenförsörjnings- och avloppsteknik

## INFILTRATIONSUNDERSÖKNINGAR

I STADSDELEN RYD, LINKÖPING

LARS O ERICSSON

STIG HÅRD

CHALMERS TEKNISKA HÖGSKOLA



ISSN 0347-8165

## GEOHYDROLOGISKA FORSKNINGSGRUPPEN

Institutionerna för:

Geologi

Geoteknik med grundläggning

Vattenbyggnad

Vattenförsörjnings- och avloppsteknik

---

## INFILTRATIONSUNDERSÖKNINGAR

I STADSDELEN RYD, LINKÖPING

Adress:

Geologiska institutionen  
Chalmers tekniska högskola  
Fack  
402 20 GÖTEBORG

LARS O ERICSSON

STIG HÅRD

## INNEHÅLL

### FÖRORD

### SAMMANFATTNING

1	MÅLSÄTTNING	1
2	BAKGRUND	1
3	ALLMÄN BESKRIVNING AV STADSDELEN RYD	1
4	LÄGE OCH TOPOGRAFI	2
5	INGENJÖRSGEOLOGISKA FÖRUTSÄTTNINGAR	3
5.1	Sammanfattning av litteratur och kartmaterial	3
5.2	Geologi	4
5.2.1	Berggrund	4
5.2.2	Jordarter	4
5.3	Grundvatten	5
5.4	Ingenjörsgeologisk karta	6
5.4.1	Allmänt	6
5.4.2	Geologisk sektion	7
5.4.3	Jordprover	10
6	INFILTRATIONSMÄTNINGAR	12
6.1	Fältarbete	12
6.2	Nederbördssituation	15
6.3	Naturlig vattenhalt i markytan	15
6.4	Infiltrationspunkterna och infiltrationsförloppen	19
7	YTGENERALISERING AV INFILTRATIONSDATA	21
8	REFERENSER	29
9	BILAGA 1	31
10	BILAGA 2	60
11	BILAGA 3	143

Denna rapport hänför sig till forskningsanslag 750148-4 från Statens råd för byggnadsforskning till Geologiska institutionen, Chalmers tekniska högskola.

## FÖRORD

Geohydrologiska forskningsgruppen, Chalmers tekniska högskola, har sedan den 1 januari 1976 bedrivit forskning i stadsdelen Ryd, Linköping. Forskningen har avsett att studera dagvattnets mängd och sammansättning för att förbättra underlaget för dimensionering av dagvattenledningar samt för att kunna förutsäga föroreningsmängder. Projektet har finansierats med medel från Tekniska Verken, Linköping, Statens råd för byggnadsforskning och Chalmers tekniska högskola.

Föreliggande publikation utgör slutrapport för den verksamhet som utförts av Geologiska institutionen, CTH. Undersökningen har gällt infiltrations- och markvattenförhållandena inom Rydområdet. Det ursprungliga preliminära forskningsprogrammet har i huvudsak kunnat genomföras med undantag av radiometriska vattenhaltsbestämningar och tensiometermätningar. Arbetet har gjorts inom ramen för den verksamhet som bedrivs inom forskningsprojektet "Markvattenförhållanden i urbana områden". Detta projekt är ett delprojekt i det samordnade forskningsprogrammet "Lokalt omhändertagande av dagvatten" vilket är underordnat Geohydrologiska forskningsgruppen.

Delrapportering av projektet har ägt rum i februari 1977 och november 1977. Dessa delrapporter finns publicerade i Geohydrologiska forskningsgruppens meddelandeserie (se Ericsson, 1977 och Holmstrand, 1978).

Sammanfattningsvis kan sägas att undersökningen i Linköping varit ett viktigt led vid utarbetandet av en metod som skall kunna ge mer tillförlitliga värden på infiltrationskapaciteten i bebyggda områden.

Göteborg i februari 1978

Lars O Ericsson

Stig Hård

## SAMMANFATTNING

Nederbördsinfiltrationen är en svårbedömd delprocess i en dagvattenmodell. I denna publikation redogörs för en enkel undersökningsmetod som resulterar i en ytgeneralisering av infiltrationsprocessen. Utifrån en geologisk inventering och kartering (FIG 2 sid 8) väljs de ytor som skall studeras. Vid återfyllning och gräsyteanläggning, efter själva byggandet, används för det mesta jordmaterial med lokalt ursprung. Dvs man tar schaktmassor från ett lokalt matjordsupplag för att erhålla en god transportekonomi. Vid infiltrationsstudierna i Rydområdet, Linköping utvaldes därför två ytor med primärt varierande geologiska förutsättningar för infiltration (se FIG. 5 sid 13).

Markvattenhalten styr i hög grad det säsongsberoende infiltrationsförloppet. Därför togs slumpvisa vattenhaltsprover vid markytan (0-5 cm). Två extrema försöksfällen valdes med hänsyn till markfuktigheten. Den ena försökomgången förlades till en mycket torr period (760929-761001) och den andra försöksomgången utfördes alldeles efter snösmältningen, våren 1977 (770503-770505) (se FIG. 9 sid 17).

Enkelringsinfiltrometrar ( $r = 19,5$  cm) utplacerades med hänsyn till geologi, matjordsfyllningens sammansättning och mäktighet, vegetation och marklutning. Enkelringens radie är för liten för att ge en representativ bild av infiltrationskapaciteten och därför har en korrektion av mätvärdena gjorts på sidospridning.

Bearbetningen av mätvärdena följer det förfarande som beskrivs i "Infiltrationsprocessen i en dagvattenmodell" (Ericsson, 1978). Infiltrometerförsökens intensitetsvärdet har anpassats till Hortons ekvation, vilket är det uttryck för infiltrationsförloppet som används i den dagvattenmodellen som utvecklats vid institutionen för vattenbyggnad, Chalmers tekniska högskola (Arnell & Lyngfelt, 1975).

I bilaga 2 finns samtliga mätvärden, intensitetsvärden, korrektionsfaktorer och regressionsanalyser för respektive infiltrometerförsök. I bilaga 1 har samlats samtliga infiltrationskurvor. Kurvorna presenteras så att en jämförelse skall kunna göras mellan de två mättillfällena. Infiltrometrarna placerades vid den andra mätserien i möjligaste mån så att en jämförelse skulle kunna göras.

Med hjälp av infiltrationskurvorna och markkarteringen har en ytgenerealisering av infiltrationen företagits. Bedömningen bygger ej på en statistisk bearbetning, ty där till föreligger för få värden (totalt 48 st). De olika mätpunkterna och de resulterande delytorna med respektive ekvationer framgår av FIG. 10 och 11 (sid 23 resp 27).

## 1

## MÅLSÄTTNING

Markvattenundersökningarna i Linköping har haft följande huvudsyften. Dels har där utarbetats en metod för att kartlägga nederbördsinfiltrationen på grönytor inom ett bebyggt område, dels har det varit angeläget att testa en av de gängse mätmetoderna, den s k ringinfiltrometermetoden. Avsikten har även varit att erhålla kunskap om de säsongsmässiga variationerna i infiltrationskapacitet.

## 2

## BAKGRUND

De geologiska förutsättningarna för infiltration och perkolation kan variera stort inom ett bebyggt område. Dessutom utgörs det översta markskiktet hos grönytorna av fyllnadsmassor vilket ytterligare komplicerar en areell generalisering av infiltrationskapaciteten. Emellertid präglas ofta fyllningens sammansättning av den underlagrande geologiska miljön. Vid återfyllning och gräsytanläggning, efter själva byggandet, används för det mesta jordmaterial med lokalt ursprung. Dvs man tar schaktmassor från ett lokalt matjordsupplag för att erhålla en god transportekonomi. Vid infiltrationsstudierna i Ryd utvaldes därför ytor med primärt varierande geologiska förutsättningar för infiltration.

## 3

## ALLMÄN BESKRIVNING AV STADSDELEN RYD

Stadsdelen Ryd som exploaterades i början av 1970-talet ligger ca 3,5 km väster om Linköpings centrum. (Se FIG. 1.) I områdets norra delar har främst fristående villor och radhus uppförts. Centralt inom området och i söder ligger två- och trevånings flerfamiljshus. (Se FIG. 5 sid 13).

5

## INGENJÖRSGEOLOGISKA FÖRUTSÄTTNINGAR

5.1

Sammanställning av litteratur och kartmaterial

Som grund för infiltrationsmätningarna har en geologisk analys av området utförts. I denna analys ingår en översiktig geologisk beskrivning av området samt en sammanställning av det kartmaterial som har stått till förfogande. En enkel form av ingenjörsgeologisk karta har där-efters upprättats.

Vid sammanställningen har följande litteratur och kartmaterial använts:

Knutsson, G, 1974, Utlatande angående grundvattenförhållanden vid planerad vägport under SJ för väg 36, västra motorvägsinfarten, Linköping. Statens Väg- och Trafikinstitut VTI.

Linköpings kommun, 1976, Stadsingenjörskontoret. Grundkarta 543, skala 1:4000.

Statens Lantmäteriverk, LMV, Topografisk kartbladet 8F Linköping NO, skala 1:50000

Svensk Geoteknisk Undersökning AB, 1956, Utredning av markförhållandena för kyrkogård inom område Ryd i Linköping.

Sveriges Geologiska Undersökning, SGU, 1975, Ser Ae nr 19, Jordartskarta, Linköping NO, skala 1:50000.

Sveriges Geologiska Undersökning, SGU, Ser Ae nr 19, Fromm, E, 1976, Beskrivning till jordartskartan, Linköping NO.

VIAK, 1961, Linköping, Grundundersökning inom område vid Ryds gård.

VIAK, 1974, Geoteknisk karta över Linköping. Skala 1:4000.

orsakas av den paleozoiska berggrunden (kambrium och ordovicium) som återfinns nordväst om Linköping. Isräfflornas riktning inom Linköpingsområdet varierar från N10°-15°V till N25°-30°V (Fromm, 1976). Detta medför att moränen inom Rydområdet ställvis kan utgöras av lerhaltiga moräner.

Större svallavlagringar påträffas öster om Malmslättsavlagringen och väster om morän och bergsområdet i östra Ryd. Svallavlagringar förekommer även som ett tunnt ytskikt av grovsediment med underlagrande lera längs morän och isälvsavlagringarna inom större delen av Rydområdet.

Finsediment, vanligen lera, täcker större delen av Rydområdet. Inom vissa mindre delområden överlagras leran av silt, exempelvis öster om Malmslättsavlagringen. Leren är vanligen av den varviga typen. På djupet övergår leren till skiktad silt.

En större torvbildning, Kärna mosse, utbreder sig nordost om Malmslättsbildningen, nordväst om själva Rydområdet. Ett tunnare torvlager med mindre än en meters mäktighet påträffas i de norra delarna av den lerbassäng som ligger inom moränonområdet i östra Ryd.

Inom de bebyggda delarna av Rydområdet utgörs de övre jordlagren av fyllning. Mäktigheten varierar mellan ca 0,2-0,6 m. Fyllnadsmassorna har som regel tagits inom Rydområdet och utgörs främst av material från grundschatker och ledningsgravar. Inom vissa områden ingår avskrapad morän i fyllningen. Fyllningens fysikaliska egenskaper kan därför regionalt väntas variera inom vida gränser.

### 5.3 Grundvatten

Grundvattenobservationer utfördes 1974 och 1975 nordväst om Ryd (VTI, G Knutsson, 1974). Observationer gjordes i 19 st grundvattenrör. Observationsrören placerades i dalgången mellan den i Ryd centralt belägna isälvsavlag-

Vid sammanställningen av den ingenjörsgeologiska kartan visade det sig att informationen på de befintliga geologiska och geotekniska kartorna i viss mån varierade. En mycket begränsad fältkontroll har utförts för att bedöma de olika kartornas tillförlitlighet, jordartsgränser etc. Den ingenjörsgeologiska kartan redovisar en kartbild sammanställd av ovan nämnda kartmaterial och litteratur där gränslinjerna redovisar bedömningar från det tillgängliga kartmaterialet. Det använda kartmaterialet har skalor från 1:4000 till 1:50000.

#### Kommentarer till vissa beteckningar

Berg i dagen eller på ringa djup (mindre än 0,5 m):

Mindre tätt liggande bergspartier har dragits ihop och redovisas som en större enhet.

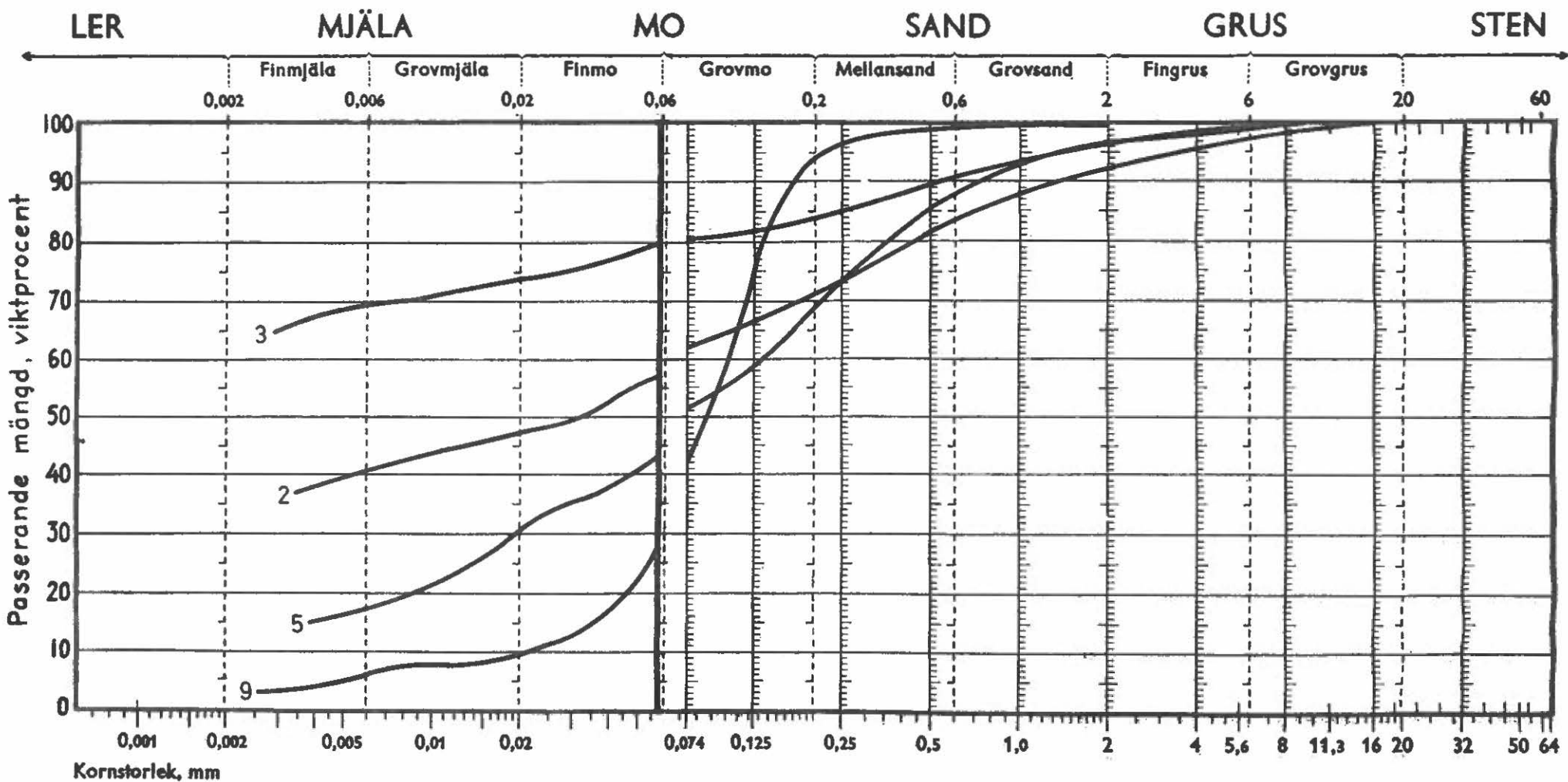
Morän: Områdets östra delar utgörs av sandig morän. Centralt inom den urbaniserade delen av Rydområdet överlagras moränen på ett flertal ställen av fasta sediment. Eftersom markytan inom detta område mycket starkt har påverkats av urbaniseringsprocessen har någon relevant jordartsbedömning ej kunnat göras. Gränsdragningen har därför i stort följt "Geoteknisk karta över Linköping" (VIAK, 1974), där man inom hela Linköpingsområdet redovisar morän och morän med maximalt 2,5 m fast sedimentjord med samma beteckning.

Sand, grovmo, finmo: Centralt inom Rydområdet domineras jordarten grovmo.

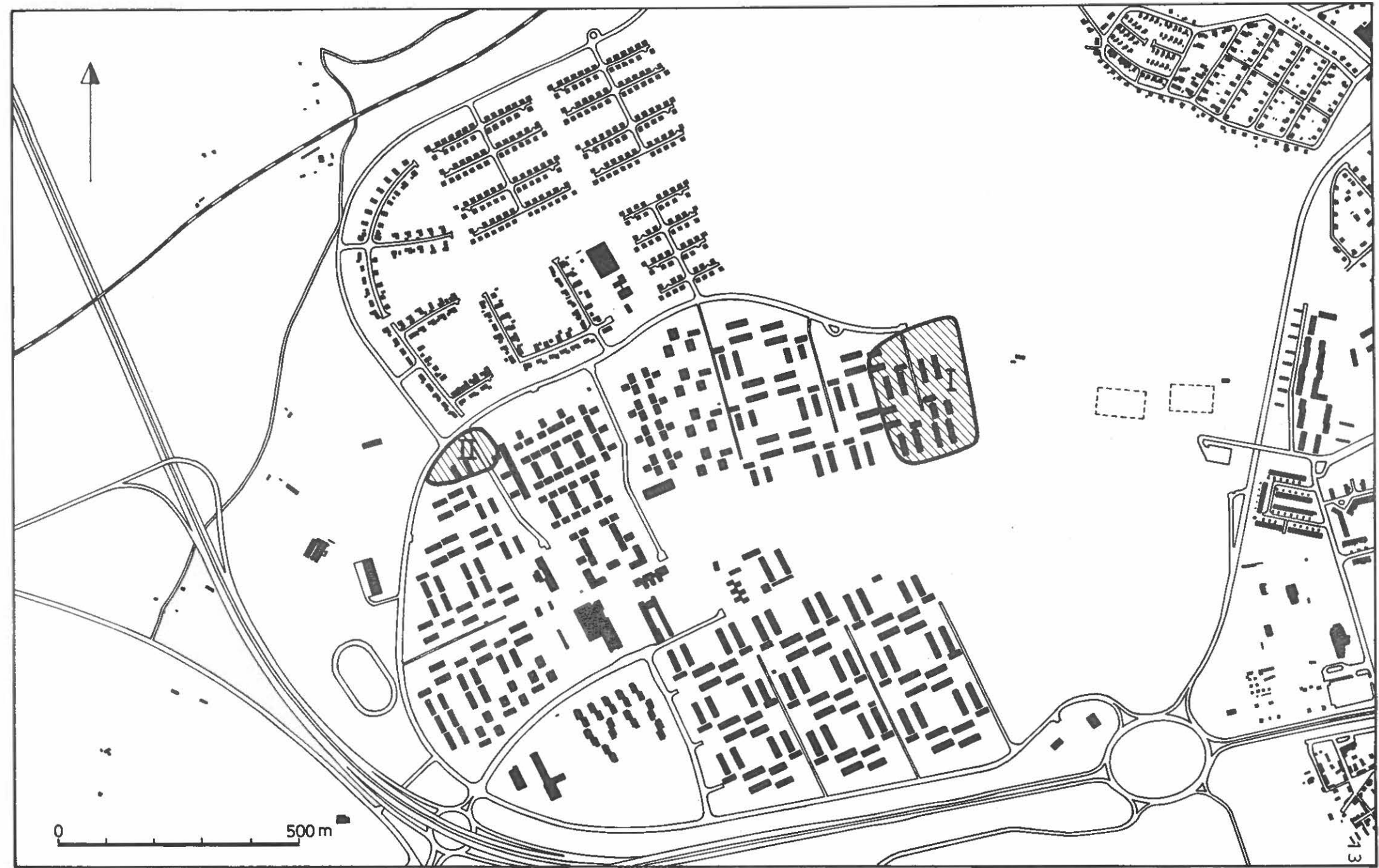
#### 5.4.2 Geologisk sektion

Den geologiska sektion redovisar en principbild över områdets geologiska uppbyggnad. Sektion är konstruerad efter borrningsdata från en statisk sondering (maskinell viktsondering VIAK 1961, Grundundersökning inom område vid Ryds gård). Med denna undersökningsmetod finns små möjligheter att noggrant bedöma de olika jordlagrens mäk-





Figur 4. Mekaniska analyser av prover från undersökningsområdet Ryd. Prov 2, lerig Fyllning. Prov 3, glacial Lera. Prov 5, sandig moig Morän. Prov 9, Mo. Provtagningsplatserna framgår av den ingenjörsgeologiska kartan, figur 2.



Figur 5. Översiktskarta över Rydömrådet, försöksområdena I och II rastrerade.

Infiltrationen styrs i hög grad av den vattenhalt som för tillfället råder i marken. För att bestämma aktuell vattenhalt i marktyan togs därför även slumpvisa cylinderprov (0-5 cm:s djup) i delområdena.

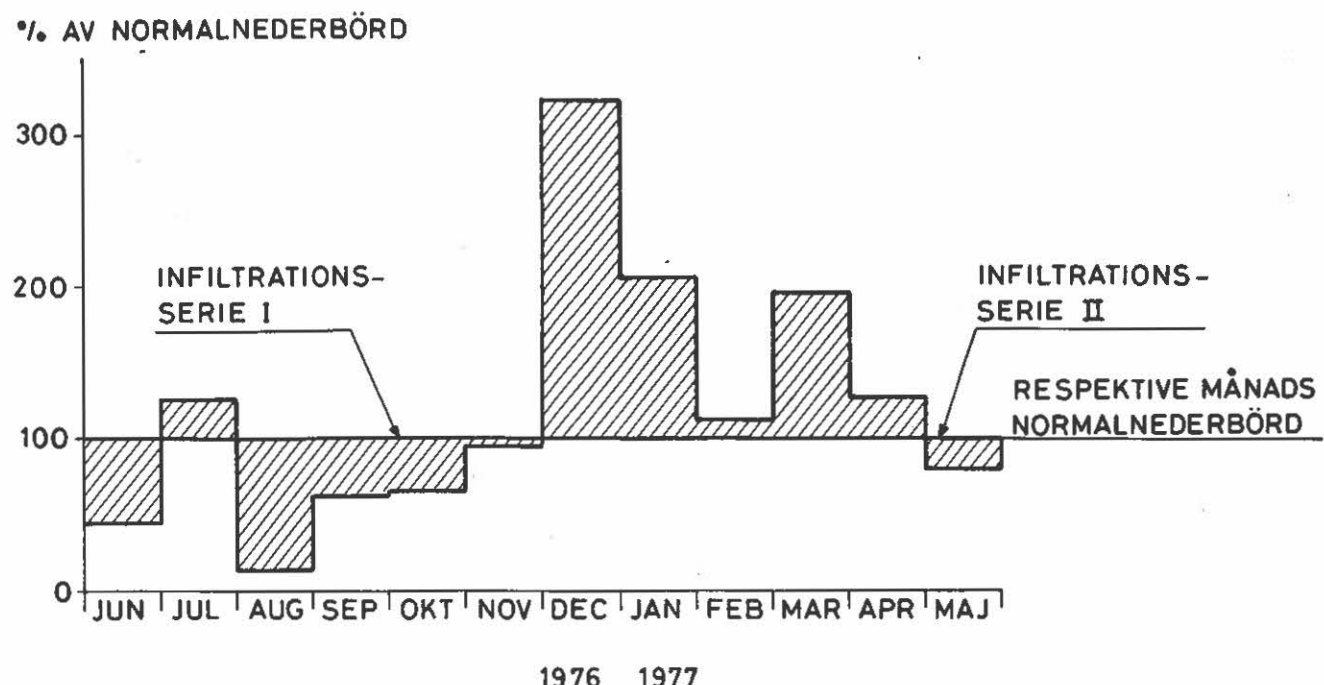
#### 6.2 Nederbördssituation

En av målsättningarna med undersökningarna i Rydområdet, Linköping, var som ovan nämnts att uppskatta den säsongsmässiga variationen av infiltrationskapaciteten. En kontinuerlig bestämning av denna förändring är mycket svår att göra. Markvattenhalten, vilken påverkar infiltrationskapaciteten, förändras nämligen mycket oregelbundet med hänsyn till nederbördssituation och klimat.

Vi valde att studera två extrema markfuktighetstillfällen. Infiltrationsserierna genomfördes under tidsperioden 760929 - 761001 respektive 770503 - 770505. Dagensnederbörd och månadsnederbörd under tidsperioden juni -76 - maj -77 framgår av FIG. 8 (SMHI-mätare 8524, Malmslätt). Sommaren 1976 var mycket torr och vintern 1976/77 var mycket nederbörlösrik, vilket framgår av FIG. 9. I figuren åskådliggörs månadsnederbörden i procent av respektive månads normalnederbörd. Infiltrationsserie 2 genomfördes ca 1,5 vecka efter det att snön smält bort i Rydområdet.

#### 6.3 Naturlig vattenhalt i marktyan

I avsikt att ytterligare belysa markfuktighetssituationen vid de två försöksserierna togs slumpvisa vattenhaltsprover vid marktyan (0-5 cm djup), på de ytor där vi förväntar



Figur 9. Månadsnederbörden i procent av respektive månads normalnederbörd ( 100% ). Dvs en mycket nederbördsfattig sommar under 1976 och en mycket nederbördsrik vinter 1976-1977.

för erhålls en snabbare avgång av vatten i markytan på grund av evapotranspiration. För att bestämma när infiltrationskapaciteten når ett konstant värde är det därför viktigt att studera hela den zon, markvattenzonens, där vatten vid markytan omsätts.

#### 6.4 Infiltrationspunkterna och infiltrationsförlöppen

FIG. 10 och 11 (sid 23 resp 27) visar läget för infiltrationspunkterna vid de två mättillfällena. De mätdata som insamlades direkt efter snösmältningen våren 1977 är tagna i punkter som huvudsakligen sammanfaller med provtagningspunkterna från det "torra" undersökningstillfället hösten 1976. För att en jämförelse lättare skall kunna göras, mellan det torra och våta markfuktighetstillståndet, presenteras infiltrationskurvorna med få undantag parvis. Mätdata har bearbetats på det sätt som beskrivs i "Infiltrationsprocessen i en dagvattenmodell" (Ericsson, 1978). Sammanfattningsvis innebär detta att den infiltrerade totala vattenvolymen inom enkelringen har omräknats till kapacitetsvärdet genom linjär interpolation. Därefter har kapacitetsvärdena korrigerats med hänsyn till sidospridning och de erhållna nya kapacitetsvärdena har på bästa sätt anpassats till Hortons infiltrationsformel. Samtliga utritade kurvor presenteras i bilaga 1. I bilaga 2 presenteras för varje mätpunkt datautskriften med mätvärden, intensitetsvärdet, korrektionsfaktorer och regressionsanalys.

Horton har presenterat följande hydrologiska infiltrationsmodell (se Ericsson, 1978):

$$f = f_c + (f_o - f_c) e^{-k \cdot t}$$

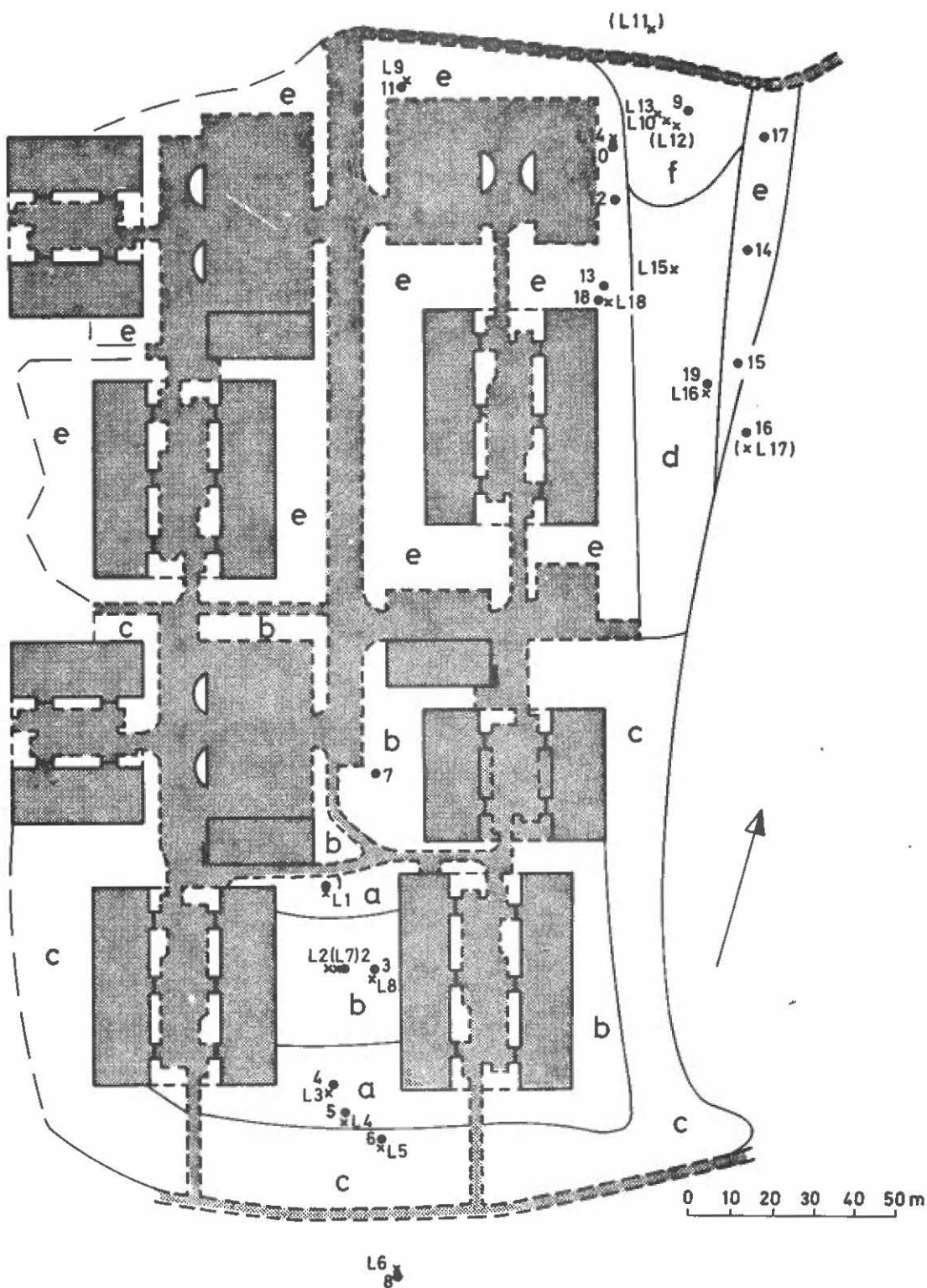
där  $f$  är infiltrationskapaciteten i mm/tim vid tiden  $t$  (tim).  $f_o$  och  $f_c$  är begynnelse respektive slutvärdet i mm/tim och  $k$  (l/tim) är infiltrationskonstanten som beror på vegetation och jordart.

Den ytgeneralisering av infiltrationsförloppen som genomförts bygger ej på en statistisk bearbetning av resultaten från infiltrometerförsöken. Försöksmaterialet är därtill alldeles för litet och komplext. Några feluppskattningar har därför inte kunnat göras. Med det förfarande som undersökningen utförts finns det emellertid goda möjligheter att ge riktlinjer för hur infiltrationen tillgår i de två försöksområdena.

FIG. 10 och 11 visar de ytgeneraliseraade försökområdena. Försöksområdena är indelade i ytor med olika representativa infiltrationsförlopp och säsongsvariationer. Indelningen är gjord med hjälp av de 48 infiltrometerförsöken och en tämligen noggrann ytkartering. Vi har då tagit hänsyn till fyllningens sammansättning, bedömd packningsgrad och marklutfning. Sammanfattningsvis kan sägas att ytgeneraliseringen är en sannolik bedömning av infiltrationsförloppen dels efter en lång nederbördsfattig period och dels efter en mycket nederbördssrik period.

Försöksområdena utvaldes med hänsyn till de skiftande geologiska förutsättningar som kunde ha präglat markfyllningens sammansättning. I försöksområde I underlagras fyllningen av glaciallera och morän och i område II av siltig glaciallera och isälvsmaterial. Morän förekommer i den naturliga skogsmarken i randen av område I (se FIG. 2). Vi har ansett att vi i dessa undersökningar ej kan ytgeneralisera infiltrationsförloppen i moränmarken i område I:s ytterkant. Därtill föreligger för få mätningar. Våra försök har emellertid visat att infiltrationskapaciteten är hög både under den våta och torra perioden. Vid försök 16 (våt period) erhölls ett sluttvärde lika med 47 mm/tim och vid försöken L6 (torr period) och 8 (våt period) erhölls sluttvärden lika med 136 mm/tim respektive 190 mm/tim (se bilaga 1).

Samtliga ytor över vilka infiltrationen har generalisrats är gräsplaner. I det nedanstående kommenter-



Figur 10a. Läge för delytor med varierande infiltrationskapacitet inom försöksområde I Ryd, Linköping. Skala 1: 1 500. Teckenförklaring, beteckningar och infiltrationsförflopp för respektive delyta redovisas på figur 10b.

underlagras av glaciallera. Dessa ytor förmår lagra mer vatten än delytorna a och infiltrationskapaciteten är högre jämfört med delytorna a. Även efter snösmältningen var dessa ytor relativt torra. Infiltrationen styrs i hög grad av torrsprickor och således erhålls en starkt reducerad infiltrationskapacitet efter en längre tids väta. Infiltrationen bedöms följa förloppen:

$$\text{Torr period: } f = 16+85 \cdot e^{-2,4t} \text{ mm/tim}$$

$$\text{Våt period: } f = 3+1,5 \cdot e^{-0,70t} \text{ mm/tim}$$

#### Försöksområde I\_delytor\_c\_(FIG.10)

Försöksområde I kan betraktas som en lerbassäng vilken begränsas av morän mot väster, söder och öster. I norr överlagras leran av ett tunt torvskikt. Delytorna c ligger i gränsen mellan morän och lera. Fyllnadsmaterialet är obetydligt lerigt och innehåller mycket sand. Humushalten ligger mellan 7-8%.

Infiltrationen bedöms följa förloppen:

$$\text{Torr period: } f = 20+55 \cdot e^{-2,50t} \text{ mm/tim}$$

$$\text{Våt period: } f = 5+10 \cdot e^{-2,50t} \text{ mm/tim}$$

#### Försöksområde I\_delyta\_d\_(FIG. 10)

Delytan består av en matjordsfyllning med ca 30-80 cm:s mächtighet, vilken underlagras av glaciallera. Fyllningens mächtighet avtar mot norr. Humushalten kan variera mellan 8 och 12%. Ett förhållandevis rikligt innehåll av sten och grus gör att den leriga fyllningen erhållit infiltrationsegenskaper som motiverat att klassa ytan som fristående delyta i försöksområde 1.

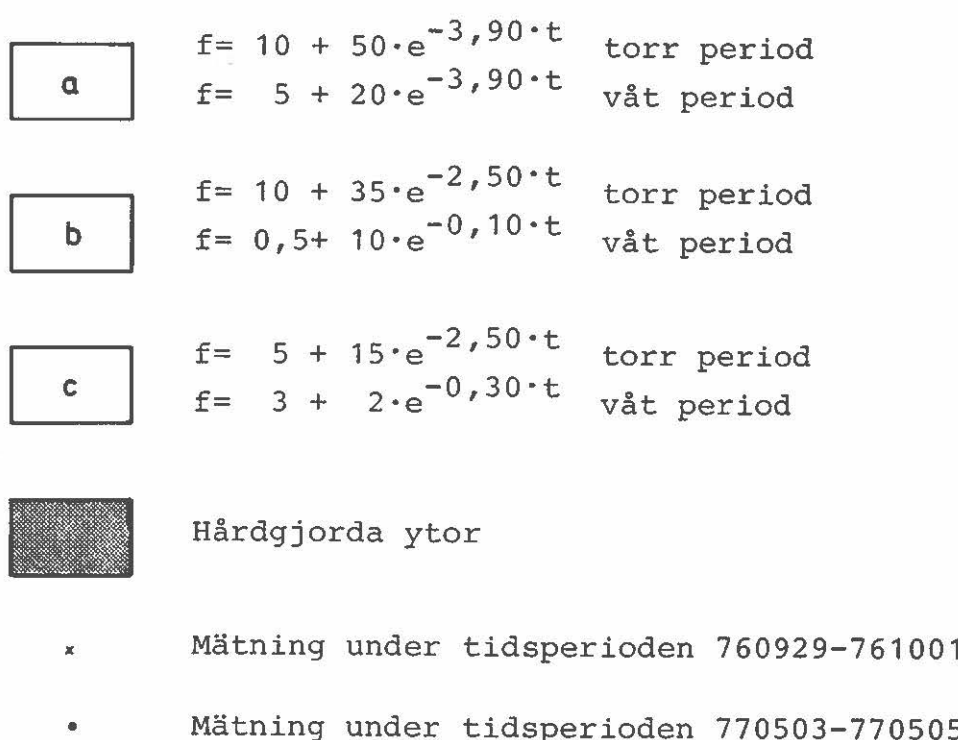
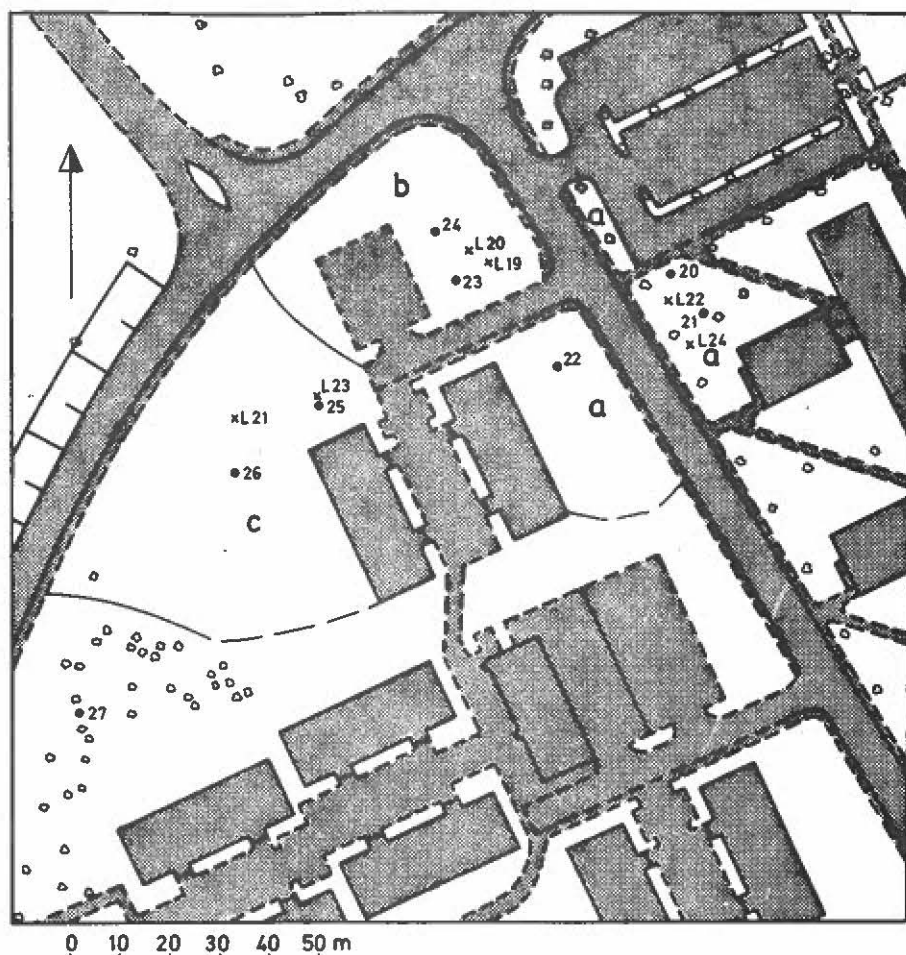
Infiltrationen bedöms följa förloppen:

$$\text{Torr period: } f = 40+200 \cdot e^{-1,40t} \text{ mm/tim}$$

$$\text{Våt period: } f = 7+2 \cdot e^{-1,0t} \text{ mm/tim}$$

#### Försöksområde I\_delytor\_e\_(FIG. 10)

Infiltrationsegenskaperna för delytan som ligger öster om delyta d och f präglas delvis av närheten till morän-



Figur 11. Läge och infiltrationsförlopp för delytor med varierande infiltrationskapacitet inom försöksområde II Ryd, Linköping.  $f$  i mm/tim och  $t$  i tim. Skala 1: 1 500.

## REFERENSER

Arnell, V & Lyngfelt, S, 1975, Interimrapport. Beräkningmodell för simulerings av dagvattenflöde inom bebyggda områden. Geohydrologiska forskningsgruppen, CTH, meddelande nr 12. Göteborg 1975.

Ericsson, L (red.), 1977, Lokalt omhändertagande av dagvatten. Delrapport från första verksamhetsåret. Geohydrologiska forskningsgruppen, CTH, meddelande nr 25. Göteborg 1977.

Ericsson, L, 1978, Infiltrationsprocessen i en dagvattenmodell. Geohydrologiska forskningsgruppen, CTH, meddelande nr 30. Göteborg 1978.

Holmstrand, O & Wedel, P, 1977, Ingenjörsgeologisk kartering, redovisning av i första hand jordlager och grundvatten. Rapport. Statens råd för byggnadsforskning. Stockholm 1977.

Holmstrand, O (red.), 1978, Lokalt omhändertagande av dagvatten. Delrapport. Geohydrologiska forskningsgruppen, CTH, meddelande nr 28. Göteborg 1978.

Knutsson, G, 1974, Utlåtande angående grundvattenförhållandena vid planerad vägport under SJ för väg 36, västra motorvägsinfarten, Linköping. Statens Väg- och Trafikinstitut, VTI.

Linköpings kommun, 1976, Stadsingenjörskontoret. Grundkarta 543, skala 1:4000.

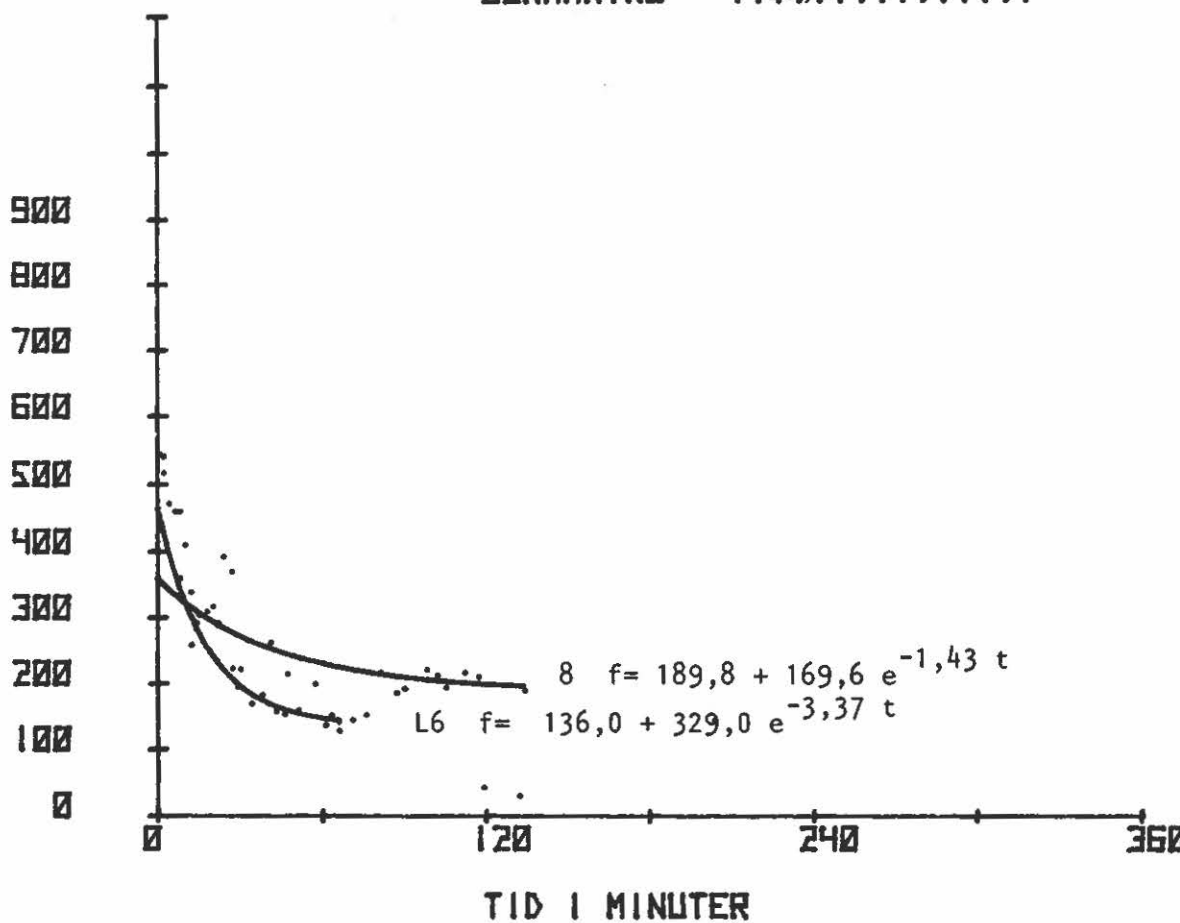
Statens Lantmäteriverk, LMV, Topografiska kartbladet 8F Linköping NO, skala 1:50000.

Svensk Geoteknisk Undersökning AB, 1956, Utredning av markförhållandena för kyrkogård inom området Ryd i Linköping.

INF.KAP  
MM/TIM

# INFILTROMETER FÖRSÖK

BENAMNING . . 46,8 . . Område i moränytor

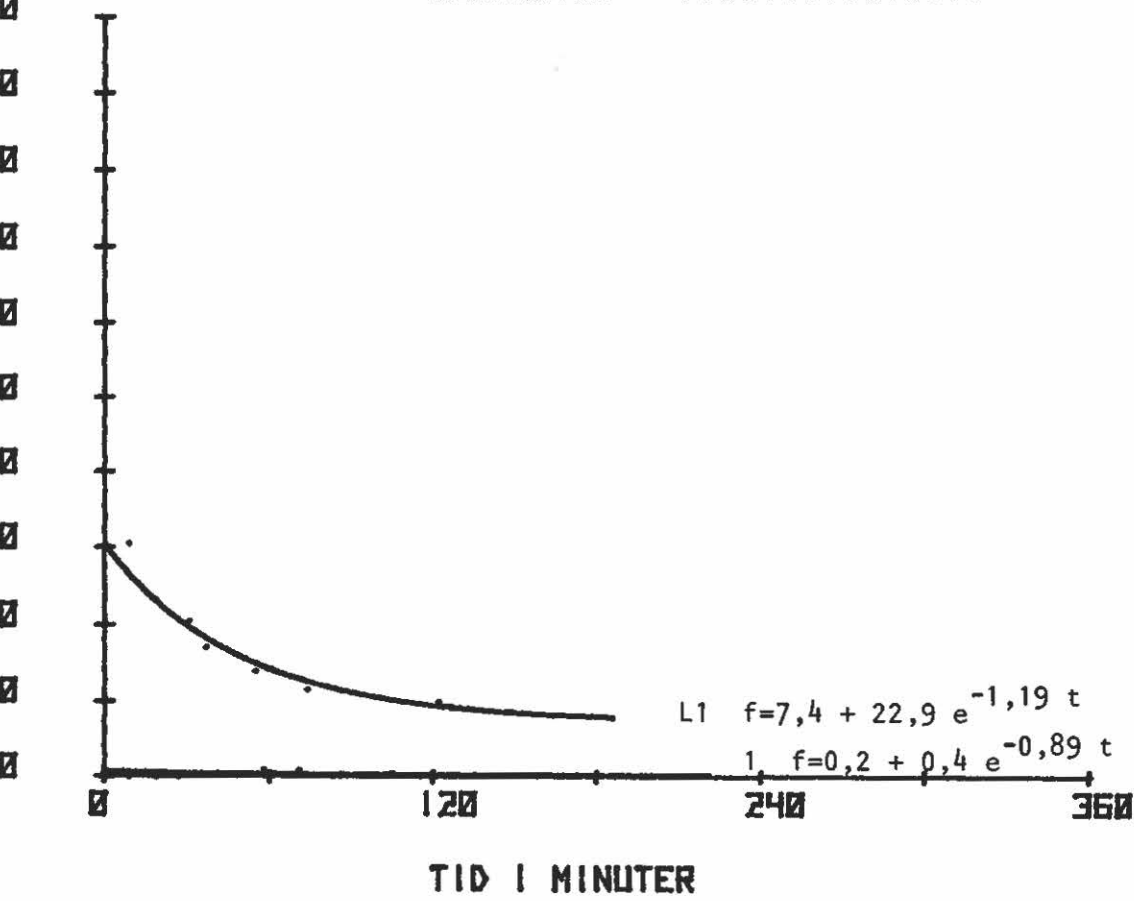


INF.KAP  
MM/TIM

100  
90  
80  
70  
60  
50  
40  
30  
20  
10  
0

## INFILTROMETER FØRSØK

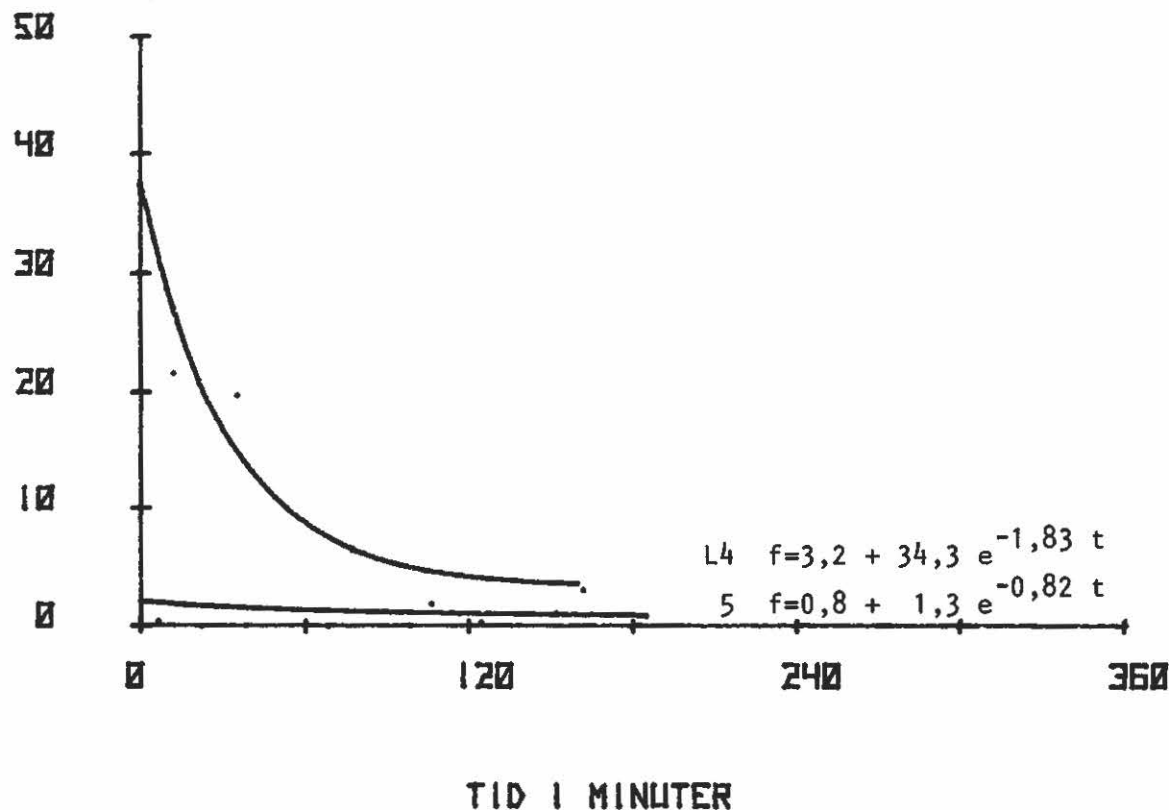
BENAMNING ...L1,... område i delyta a



INF.KAP  
MM/TIM

## INFILTROMETER FØRSØK

BENAMNING .14 ..5.. område.I delyta a



INF.KAP  
MM/TIM

100  
90  
80  
70  
60  
50  
40  
30  
20  
10  
0



## INFILTROMETER FØRSØK

BENAMNING L8,3 område I delyta b

$$L8 \quad f = 16,0 + 79,5 e^{-2,74 t}$$

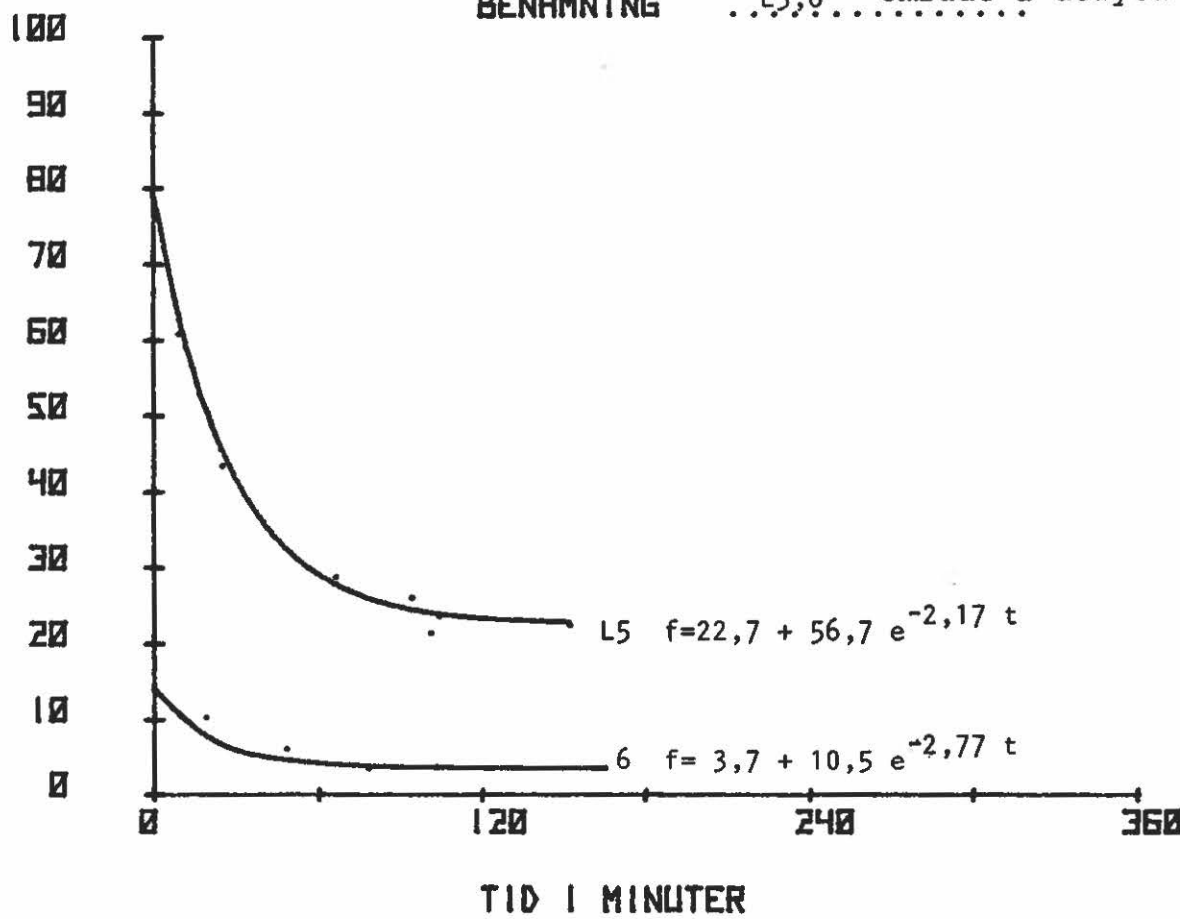
$$3 \quad f = 4,2 + 1,1 e^{-0,74 t}$$

TID I MINUTER

INF.KAP  
MM/TIM

## INFILTROMETER FØRSØK

BENAMNING ..L5,6..... område I delyta b



INFILTRASJON

MM/TIM

400

350

300

250

200

150

100

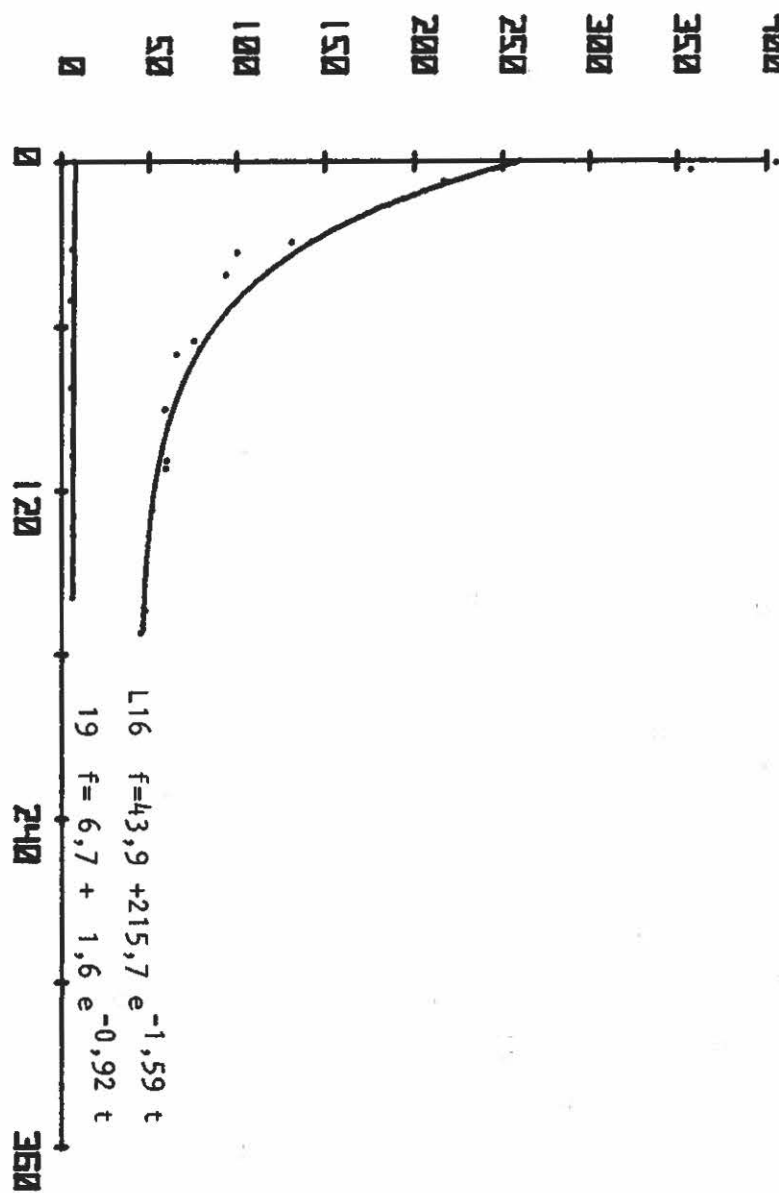
50

0

## INFILTROMETER FØRSØK

BENAMNING L16.19. område.I.delyta d

TID I MINUTER



INF.KAP  
MM/TIM

100  
90  
80  
70  
60  
50  
40  
30  
20  
10  
0

## INFILTROMETER FØRSØK

BENAMNING L14, 10 område I delyta e

$$L14 \quad f = 12,9 + 39,1 e^{-1,43 t}$$

$$10 \quad f = 8,2 + 1,8 e^{-0,38 t}$$

TID I MINUTER

INF-KAP  
MM/TIM

INFILTROMETER FÖRSOK  
DATUM 770504 <sup>14</sup>...område. i. delyta e  
BENAMNING . . .

100

90

80

70

60

50

40

30

20

10

0

TID I MINUTER

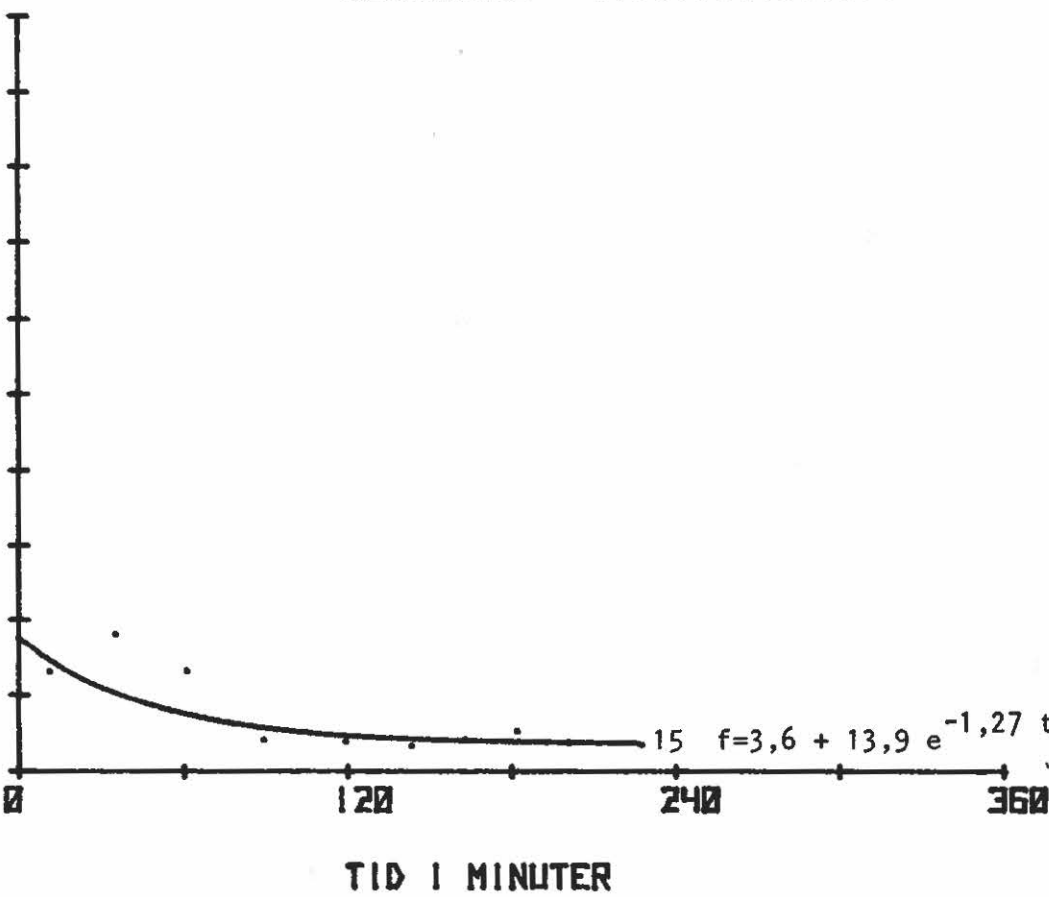


$$f=9,0$$

INF.KAP  
MM/TIM

100  
90  
80  
70  
60  
50  
40  
30  
20  
10  
0

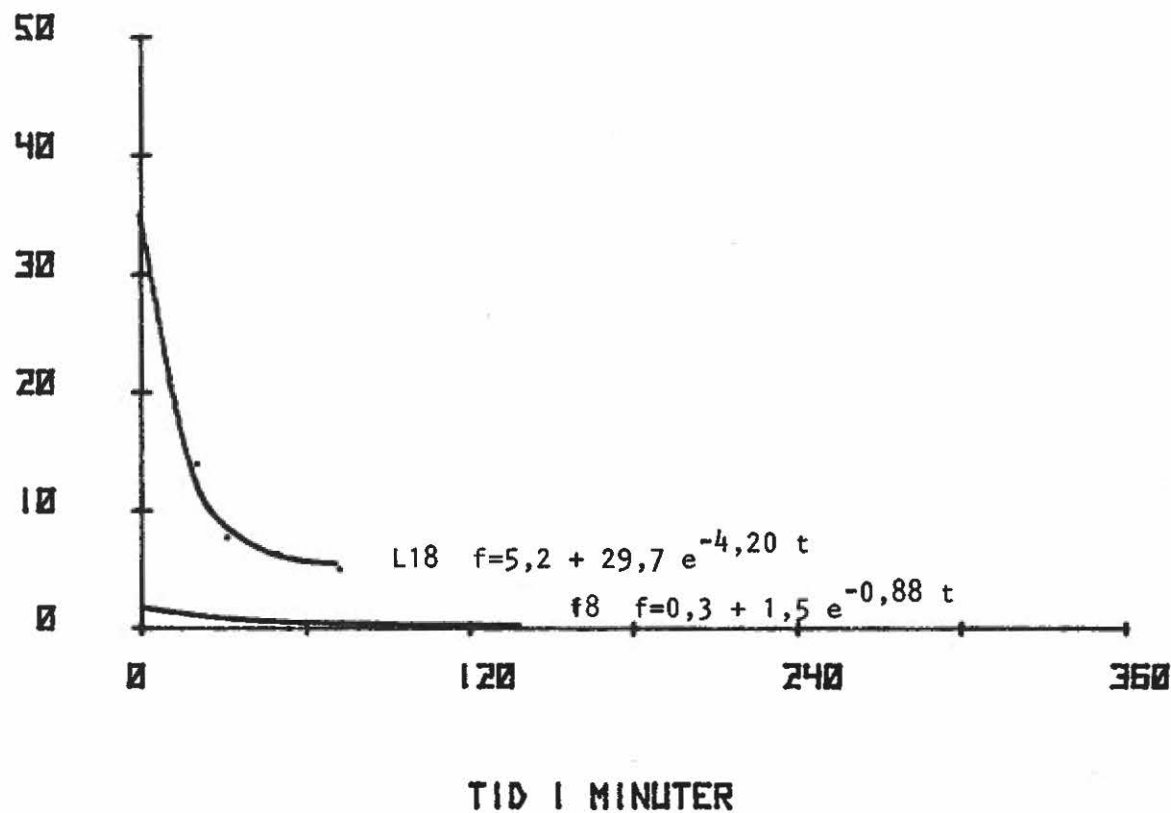
INFILTROMETER FØRSØK  
DATUM 770504  
BENAMNING .15..... Område I delyta e



INF.KAP  
MM/TIM

## INFILTROMETER FØRSØK

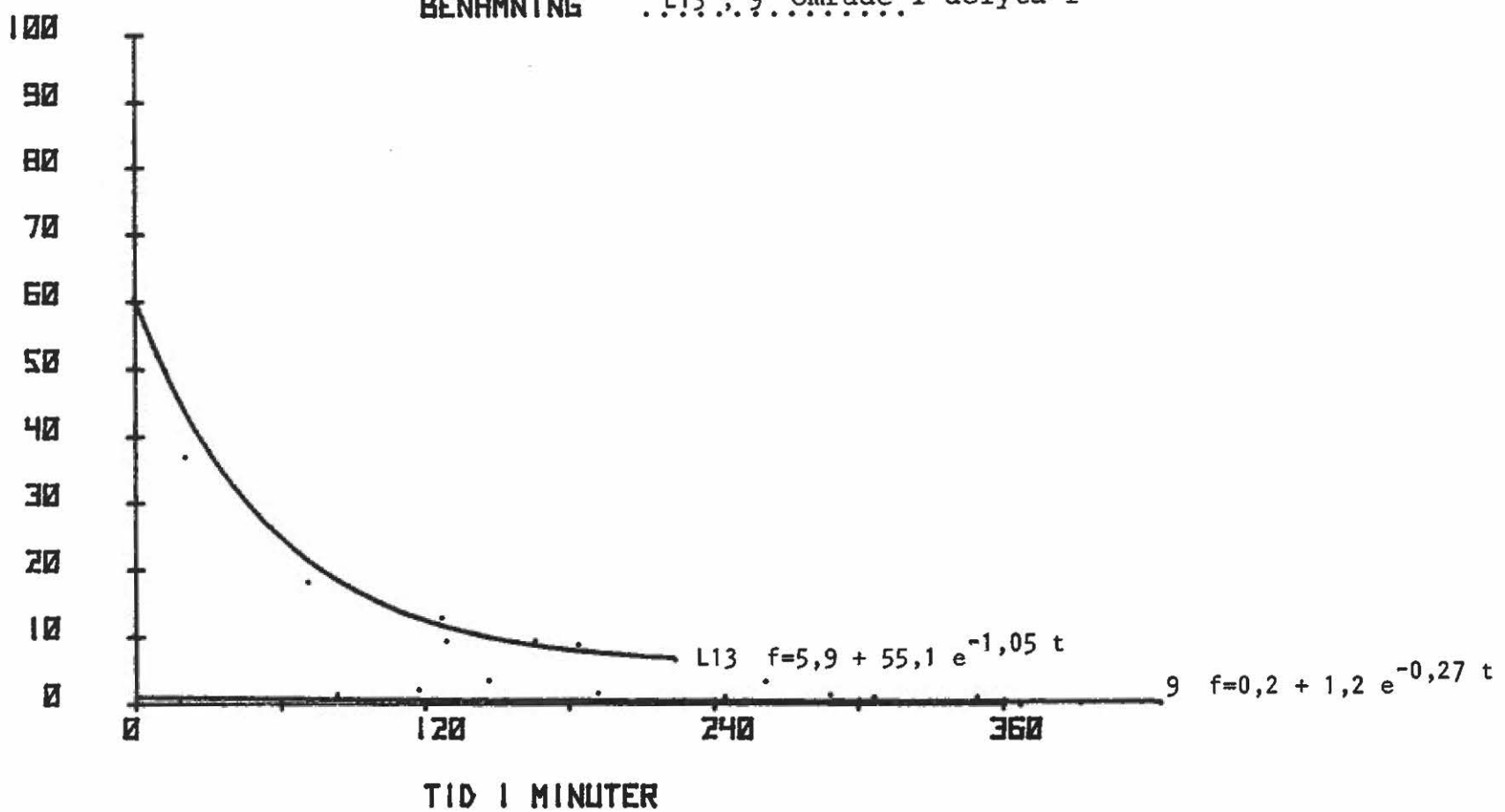
BENAMNING L18 , 18 område I delyta e .....



INF.KAP  
MM/TIM

## INFILTROMETER FØRSØK

BENAMNING .L13 ..9.. område I delyta f



INF.KAP  
MM/TIM

100  
90  
80  
70  
60  
50  
40  
30  
20  
10  
0

## INFILTROMETER FØRSØK

BENAMNING L24, 21 område II delyta a

$$L24 \quad f = 13,2 + 91,6 e^{-3,80 t}$$

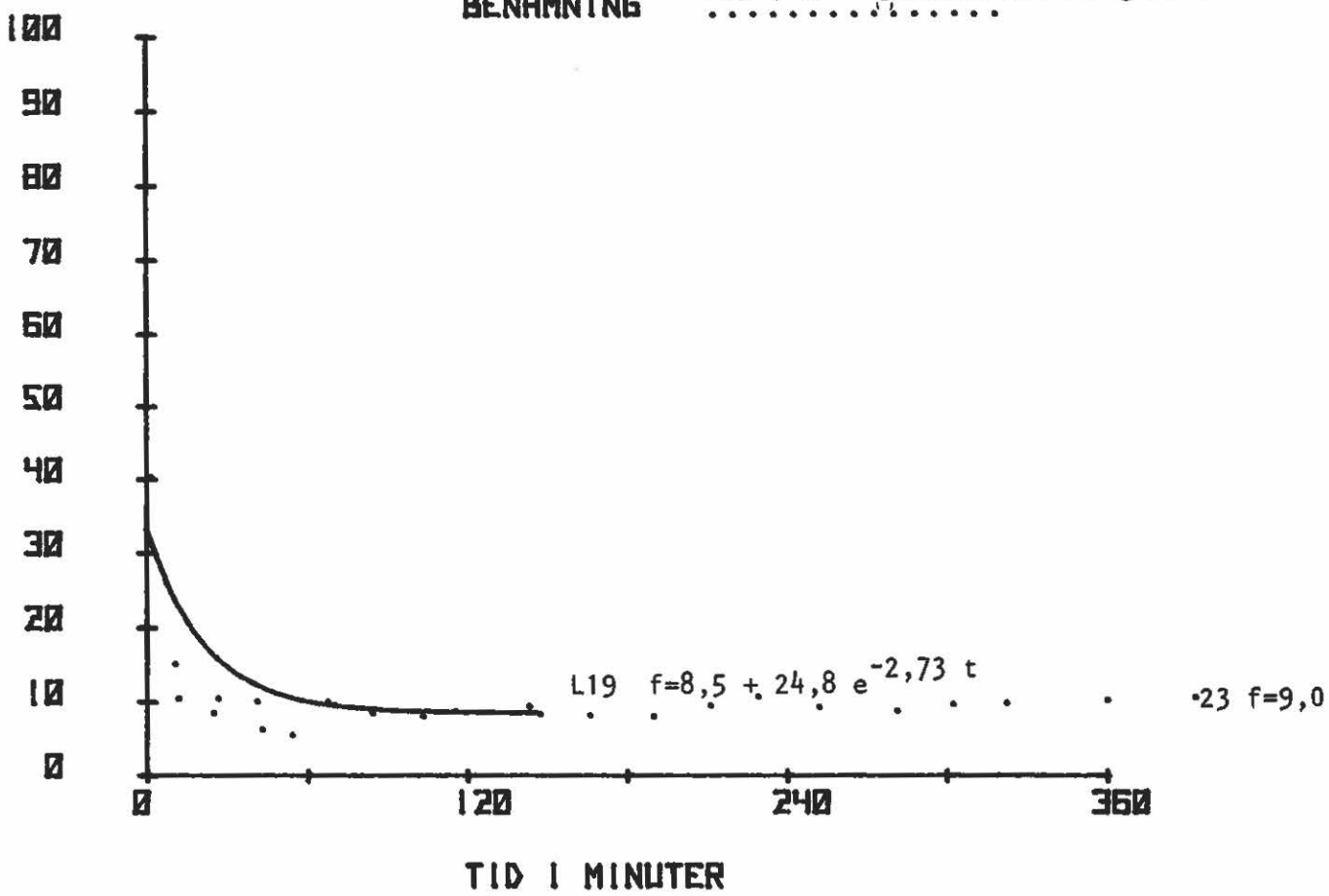
$$21 \quad f = 3,7 + 13,5 e^{-4,52 t}$$

TID I MINUTER

INF.KAP  
MM/TIM

## INFILTROMETER FØRSØK

BENAMNING L19 , 23 område II delyta b



INF.KAP  
MM/TIM

100

90

80

70

60

50

40

30

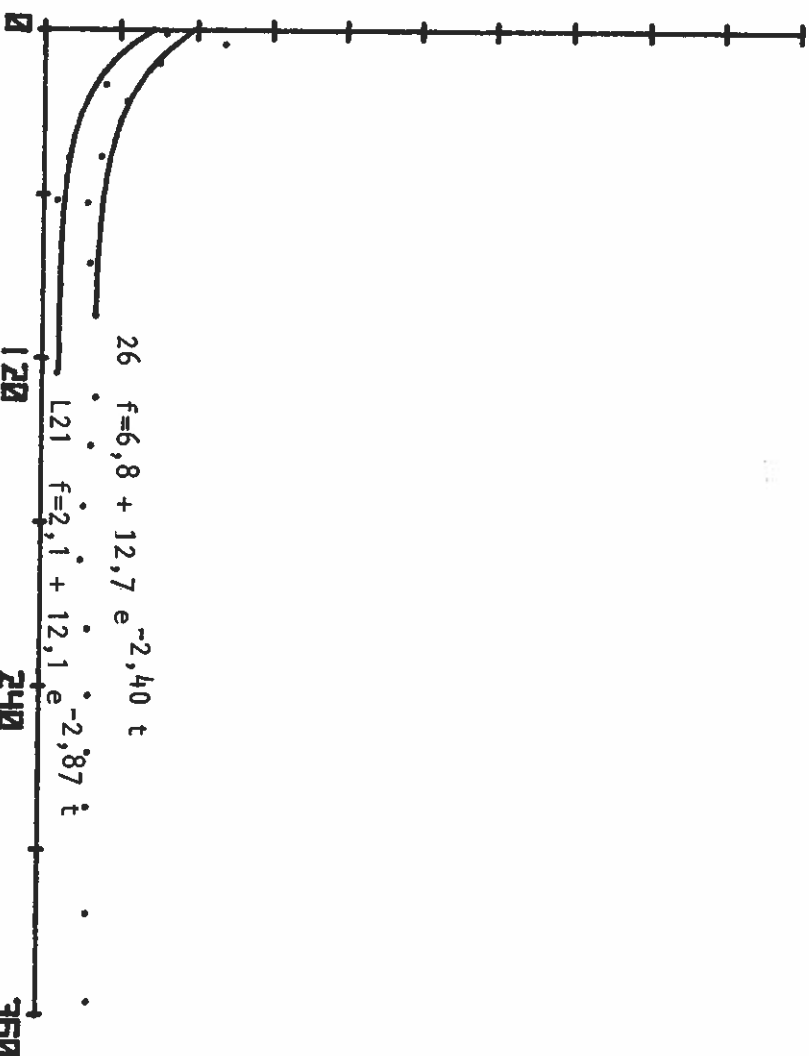
20

10

0

## INFILTRÖMETER FÖRSÖK

BENÄMNING . L21 , 26 område II delyta c



TID I MINUTER

INF-KAP  
MM/TIM

100

90

80

70

60

50

40

30

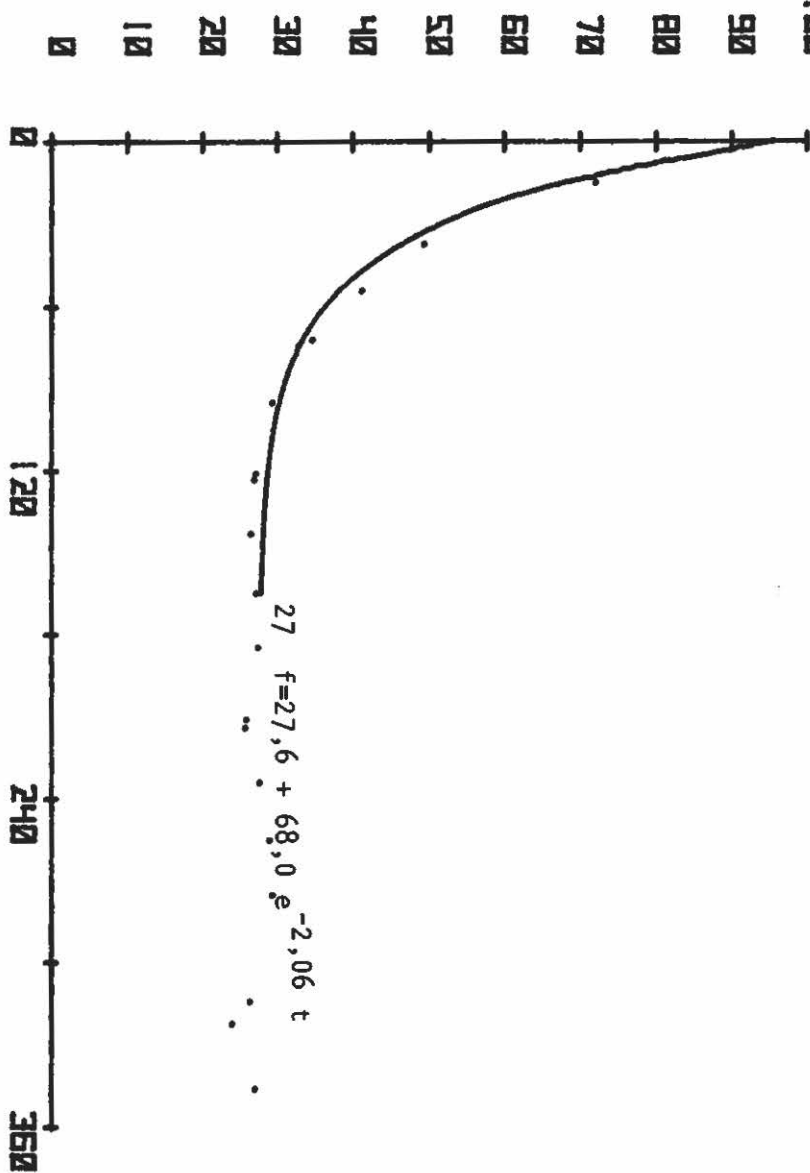
20

10

0

INFILTROMETER FÖRSÖK  
DATUM 770505  
BENÄMNING ... 27. område II övrig

TID I MINUTER



$$f = 27,6 + 68,0 e^{-2,06 t}$$

HOTEL'S FORMULA	L1	INDEX OF DETERM.	F0-FC	K	FC	61
$Y=FC + (F0-FC)EXP(KT)$		0.979693	22.86	-1.190688	7.43	30 29

MEAN AND STANDARD DEVIATION OF RAW DATA

	MEAN	STANDARD DEVIATION
X	82.75	62.69597845
Y	15.09521	7.601687439

$Y=FC + (F0-FC)EXP(KT)$  IS AN EXPONENTIAL FUNCTION. THE RESULTS OF A LEAST-SQUARES FIT OF ITS LINEAR TRANSFORM (SORTED IN ORDER OF ASCENDING VALUES OF X) ARE AS FOLLOWS:

X-ACTUAL	Y-ACTUAL	Y-CALC	PCT DIFFER
9.00	36.57	26.55281	15.1
11.00	26.66	19.78791	4.3
17.00	17.14	18.40069	-6.8
25.00	14.04	15.10540	-7
34.00	11.58	12.69441	-8.8
42.00	10.10	9.46078	6.7
46.00	8.74	8.64222	1
48.00	7.95	8.00027	-8.6

HORIONS FORMULA L2	INDEX OF DETERM.	F0-FC	K	FC	F0
Y=FC+(F0-FC)EXP(KT)	0.987819	95.55	-2.079253	16.72	112.27

MEAN AND STANDARD DEVIATION OF RAW DATA

	MEAN	STANDARD DEVIATION
X	78.55555556	56.10951593
Y	37.93094444	30.88554143

Y=FC+(F0-FC)EXP(KT) IS AN EXPONENTIAL FUNCTION. THE RESULTS OF A LEAST-SQUARES FIT OF ITS LINEAR TRANSFORM (SORTED IN ORDER OF ASCENDING VALUES OF X) ARE AS FOLLOWS:

X-ACTUAL	Y-ACTUAL	Y-CALC	PCT DIFFER
3.00	110.03	102.83509	6.9
17.00	63.20	69.73233	-9.3
41.00	40.53	39.79665	1.8
62.00	30.31	27.86600	8.7
68.00	23.30	22.69332	2.6
84.00	19.88	21.92014	-9.3
107.00	19.44	19.06348	1.9
124.00	17.73	17.63940	0.8
179.00	16.90	16.91331	0

FUNCTIONS FORMULA	L3	INDEX OF DETERM.	F0-FC	K	F2	6
Y=1.1+(F0-FC)EXP(KT)		0.996384	25.60	-1.602324	10.10	<b>65</b>

MEAN AND STANDARD DEVIATION OF RAW DATA

	MEAN	STANDARD DEVIATION
X	66.14285714	62.86872189
Y	20.108	10.48604566

Y=F0 + (F0-FC)EXP(KT) IS AN EXPONENTIAL FUNCTION. THE RESULTS OF A LEAST-SQUARES FIT OF ITS LINEAR TRANSFORM (SORTED IN ORDER OF ASCENDING VALUES OF X) ARE AS FOLLOWS:

X-FCTUAL	Y-ACTUAL	Y-CALC	PCT DIFFER
2.00	37.94	34.37083	10.3
8.00	29.66	30.77743	-2.9
25.00	22.05	23.23199	-5
48.00	16.78	17.20520	-2.4
51.00	12.68	12.35352	2.6
119.00	11.97	11.16699	-0.8
176.00	10.38	10.37329	0

## THE TILTOMETER

RØRE TS RADIE 7.5CM  
RØRENS RADIE 19.5CM

DATUM 760929 BENAMNING L5  
MÅRFÄTTENBAND 1 DATAFIL NR 35

KLOCKAN	AVSÄNKNING	TIDEN	TOTALMÅNGD
TIM MIN	I CM	I MIN	I MM
14 11.0	1.7	0.0	0.00000
14 20.0	11.0	9.0	14.20110
14 36.0	28.1	26.4	39.05320
15 17.0	67.7	66.0	97.63310
15 43.0	95.0	93.3	138.01700
15 52.0	101.5	99.8	147.63300
15 55.0	1.5	101.3	149.85200
16 43.0	45.3	145.1	214.64400
17 14.0	65.2	168.0	248.52000

## INTENSITET

PUNKT(0+2)	PUNKT(0)	PUNKT(1+2)	PUNKT(1)	MM/TIMME
39.05320	0.00000	25.0	0.0	93.72760
97.63310	14.20110	66.0	9.0	87.82010
138.01700	39.05320	94.0	25.0	86.05540
147.63300	97.63310	101.0	66.0	85.71410
149.85200	138.01700	104.0	94.0	71.01600
214.64400	147.63300	152.0	101.0	78.83640
248.52000	149.85200	183.0	104.0	74.93770

## DATAFIL NR 35

## KONFEKTION AV INTENSITETVARDEN

TID	MIN	PUNKT	KORR
9.0		60.92290	0.650
11.0		43.47240	0.495
66.0		20.81850	0.335
99.0		20.16200	0.315
101.0		31.44500	0.382
104.0		20.65090	0.300
152.0		22.48130	0.300

KORR TS RADIE 7.5CM  
KINCELLS RADIE 19.5CM

DATUM 760929 BEHANMING 16.....  
MARKVATTENBAND 1 DATAFIL NR 36

KLOCKAN TID MIN	AVSANKNING I CM	TIDEN I MIN	TOTALMÅNGD I MM
14 29.0	7.0 0.0	0.0	0.00000
14 31.0	21.0 14.0	2.0	20.71000
14 37.0	72.0 65.0	8.0	96.15300
14 41.0	92.0 85.0	12.0	125.73900
14 43.0	15.0 100.0	14.0	147.92800
14 56.0	103.0 188.0	27.0	278.10600
14 58.0	16.5 204.5	29.0	302.51400
15 12.0	100.5 288.5	43.0	426.77500
15 15.0	13.5 302.0	46.0	446.74500
15 32.0	113.0 401.5	63.0	593.93400
15 35.0	14.5 416.0	66.0	615.38400
15 45.0	62.5 464.0	76.0	686.39000

## INTENSITET

PUNKT(K+2)	PUNKT(K)	PUNKT(T+2)	PUNKT(T)	MM/TIMME
96.15300	0.00000	8.0	0.0	721.15300
125.73900	20.71000	12.0	2.0	630.17400
147.92800	96.15300	14.0	8.0	517.74200
278.10600	125.73900	27.0	12.0	609.46800
302.51400	147.92800	29.0	14.0	618.34300
426.77500	278.10600	43.0	27.0	557.58800
446.74500	302.51400	46.0	29.0	509.65000
593.93400	426.77500	63.0	43.0	501.47700
615.38400	446.74500	66.0	46.0	505.91700
686.39000	593.93400	76.0	63.0	426.72600

DATAFIL NR 36

## KORREKTION AV INTENSITETSVARDE

TID MIN	RADIE	KORR
2.0	548.86400	0.750
6.0	359.19900	0.570
12.0	253.67100	0.500
14.0	292.54400	0.400
22.0	222.68300	0.360
25.0	195.12700	0.350
40.0	157.86500	0.310
46.0	152.95000	0.305
67.0	151.77500	0.300
66.0	122.01600	0.300

## DETEKTOMETER

RÖRFR. HÖDTE 7.5CM  
KEDJING HÖDTE 13.5CM

DATUM 760929 BENAMNING L8.....  
MÄRKSÄTTENBAND 1 DATAFIL NR 37

KLOCKAN	ÅRSÄNKNING	TIDEN	TOTALKÄRIGD
TIM MIN	T CM	I MIN	I MM
15 11.0	2.0	0.0	0.00000
15 20.0	14.2	12.2	10.04730
15 46.0	44.0	42.0	62.13010
16 32.0	77.2	75.2	111.24200
17 27.0	110.0	108.0	159.76300

## INTENSITET

PUNKT(X+2)	PUNKT(X)	PUNKT(T+2)	PUNKT(T)	MM/TIMME
62.13010	0.00000	35.0	0.0	126.50000
111.24200	10.04730	61.0	9.0	77.66220
159.76300	62.13010	136.0	35.0	57.90173

## DATAFIL NR 37

## KORREKTION AV INTENSITETVÄRDEN

TID I MIN	MM/H	KORR
5.0	69.23020	0.650
35.0	31.84150	0.410
61.0	17.97990	0.310

HÖRDELS FORMEL	INDEX OF DETERM.	F0-FC	K	FC	%
NATURLOGARITMISK	0.959963	79.51	-2.739436	15.00	95.50

## REGRESSIONS ANALYSERESULTAT AV RAM DATA

	MEAN	STANDARD DEVIATION
X	11.66666667	36.46002377
Y	39.68386667	26.50991039

Y=FC + (F0-F0)EXP(X/K) IS AN EXPONENTIALFUNCTION. THE RESULT IS A LEAST-SQUARES FIT OF ITS LINEAR TRANSFORM.  
THE ORDER OF ASCENDING VALUES OF X0 ARE AS FOLLOWS:

X-ACTUAL	Y-ACTUAL	Y-CALC	PCT DIFFER.
9.00	69.23	68.71650	0.7
35.00	31.84	32.08389	-0.7
61.00	17.98	17.96904	0

HYPOTHS FORMULA L9	INDEX OF DETERM.	F0-FC	K	FD	73	PC
$Y = F_0 + (F_0 - F_C) \exp(KT)$	0.392210	3.82	-0.838356	24.18		27.95

MEAN AND STANDARD DEVIATION OF RAW DATA

	MEAN	STANDARD DEVIATION
X	105.777778	74.17340793
Y	24.99781111	5.359260151

$Y = F_0 + (F_0 - F_C) \exp(KT)$  IS AN EXPONENTIAL FUNCTION. THE RESULTS OF A LEAST-SQUARES FIT OF ITS LINEAR TRANSFORM (SORTED IN ORDER OF ASCENDING VALUES OF X) ARE AS FOLLOWS:

X-PICTUAL	Y-ACTUAL	Y-CALC	PCT DIFFER
4.00	29.23	27.73972	41.4
23.00	23.34	26.89807	-13.2
51.00	23.15	26.00183	-10.9
55.00	23.31	25.29398	-7.8
108.00	22.74	24.97407	-8.9
111.00	22.84	24.93942	-8.4
153.00	23.71	24.58016	-3.5
267.00	24.10	24.34165	-8.9
210.00	22.56	24.33296	-7.3

INPUTS FORMULA L10	INDEX OF DETERM.	F0-FC	K	P1	75	F0
$P1 = (F0-FC) \exp(KT)$	0.886584	61.02	-1.065684	8.11		69.13

MEAN AND STANDARD DEVIATION OF RAW DATA

	MEAN	STANDARD DEVIATION
X	132.05	164.972364
Y	37.311651	54.96050239

$Y = P1 + (F0-FC) \exp(KT)$  IS AN EXPONENTIAL FUNCTION. THE RESULTS OF A LEAST-SQUARES FIT OF ITS LINEAR TRANSFORM (SORTED IN ORDER OF ASCENDING VALUES OF X) ARE AS FOLLOWS:

X-FCTUAL	Y-FCTUAL	Y-CALC	PCT DIFFER
1.00	188.47	68.05862	165.1
3.00	79.98	65.96645	21.2
29.00	34.89	44.56828	-21.7
63.00	16.65	26.04109	-39.8
134.50	13.82	13.70762	0.8
142.00	10.07	13.00949	-22.6
194.00	9.66	10.05554	-3.8
231.00	9.37	9.11840	2.7
248.00	10.19	9.85559	15
283.00	7.86	8.51043	-8.3

REGRESSION FORMULA L13	INDEX OF DETERM.	F0-FC	R	E	77	F0
$Y = F_0 + (F_0 - F_C) \exp(-kT)$	0.952564	55.07	-1.046736	S 38		60.95

MMEAN AND STANDARD DEVIATION OF RPN DATA

	MEAN	STANDARD DEVIATION
X	114.9375	78.65382449
Y	23.52861625	26.48904692

$Y = F_0 + (F_0 - F_C) \exp(-kT)$  IS AN EXPONENTIAL FUNCTION. THE RESULTS OF A LEAST-SQUARES FIT OF ITS LINEAR TRANSFORM (SORTED IN ORDER OF ASCENDING VALUES OF X) ARE AS FOLLOWS:

X-FACTUAL	Y-ACTUAL	Y-CALC	PCT DIFFER
0.50	84.43	60.47658	39.6
10.50	37.29	44.39544	-16
21.00	18.42	21.83954	-15.6
27.650	13.06	11.94070	9.4
30.050	9.56	11.73288	-18.5
35.550	9.59	8.94929	7.1
39.350	9.04	8.12213	11.4
41.050	6.83	6.99583	-2.3

HORN'S FORMULA L14	INDEX OF DETERM.	F0-FC	K	FC 79	F0
$Y=FC+(F0-FC)\exp(KT)$	0.980557	39.12	-1.432338	12.05	01.97

MEAN AND STANDARD DEVIATION OF RAW DATA

	MEAN	STANDARD DEVIATION
X	107.3125	77.44603536
Y	24.5331125	19.14256666

$Y=FC+(F0-FC)\exp(KT)$  IS AN EXPONENTIAL FUNCTION. THE RESULTS OF A LEAST-SQUARES FIT OF ITS LINEAR TRANSFORM (SORTED IN ORDER OF ASCENDING VALUES OF X) ARE AS FOLLOWS:

X-ACTUAL	Y-ACTUAL	Y-CALC	PCT DIFFER
2.00	65.68	50.14545	30.9
10.00	40.62	43.66165	-6.9
51.00	22.11	24.42825	-9.4
113.00	15.42	15.48543	-0.4
147.00	13.59	14.02045	-3.1
162.00	11.98	13.66816	-12.9
164.00	13.79	13.63002	1.1
269.50	13.15	13.11326	0.2

## KORREKTION AV INTENSITETSVARDEBN L15

TID I MIN	MM/H	KORR
0.5	266.27100	1.000
1.0	270.06800	0.930
20.0	168.59500	0.590
21.5	133.84300	0.580
24.0	125.44200	0.560
53.0	94.18290	0.425
55.0	80.05980	0.410
66.0	72.65620	0.375
96.0	61.83870	0.325
100.0	54.58590	0.320
128.0	50.61620	0.305
140.0	46.24650	0.300
147.0	44.34000	0.300
166.0	42.04320	0.300
185.0	41.31210	0.300
195.0	41.50680	0.300
202.0	39.94050	0.300
212.0	37.27800	0.300

HORTONS FORMULA	INDEX OF DETERM.	F0-FC	K	FC	F0
Y=FC+(F0-FC)EXP(KT)	0.987016	186.90	-1.385364	38.59	225.49

## MEAN AND STANDARD DEVIATION OF RAW DATA

	MEAN	STANDARD DEVIATION
X	101.1666667	73.74857925
Y	92.82365556	73.97538942

Y=FC+(F0-FC)EXP(KT) IS AN EXPONENTIALFUNCTION. THE RESULTS OF A LEAST-SQUARES FIT OF ITS LINEAR TRANSFORM (SORTED IN ORDER OF ASCENDING VALUES OF X) ARE AS FOLLOWS:

X-ACTUAL	Y-ACTUAL	Y-CALC	PCT DIFFER
0.50	266.27	223.34866	18.7
1.00	270.07	221.22794	22
20.00	168.60	156.36866	7.0
21.50	133.84	132.35933	-12.1
24.00	125.44	125.97612	-14
53.00	94.10	93.56361	0.6
55.00	80.06	91.08291	-12.1
68.00	72.66	77.47140	-6.2
96.00	61.84	58.95897	4.8
100.00	54.59	57.16280	-4.5
128.00	50.60	48.31940	4.3
143.00	46.25	45.47132	1.7
147.00	44.34	44.86425	-1.1
166.00	42.04	42.63611	-1.3
185.00	41.31	41.19923	0.2
195.00	41.51	40.47854	2.5
202.00	39.94	40.35215	-1
212.00	37.28	39.98884	-6.7

HOPKINS FORMULA L16	INDEX OF DETERM.	F0-FC	K	FC	83	FO
$Y=FC+(F0-FC)\exp(KT)$	0.948364	215.86	-1.591008	43.88	252.74	

MEAN AND STANDARD DEVIATION OF RAW DATA

	MEAN	STANDARD DEVIATION
X	73.03571429	57.67880703
Y	126.7489714	117.3594076

$Y=FC+(F0-FC)\exp(KT)$  IS AN EXPONENTIAL FUNCTION. THE RESULTS OF A LEAST-SQUARES FIT OF ITS LINEAR TRANSFORM (SORTED IN ORDER OF ASCENDING VALUES OF X) ARE AS FOLLOWS:

X-ACTUAL	Y-ACTUAL	Y-CALC	PCT DIFFER
6.50	405.32	256.89989	57.7
3.00	358.31	243.23627	47.3
7.00	216.60	223.17390	-2.9
19.00	131.64	143.92867	-8.5
33.00	100.81	133.86019	-24.6
41.00	94.13	116.66102	-19.3
55.00	76.86	82.39516	-7.6
70.00	65.79	77.61271	-15.2
90.00	59.69	63.72857	-6.3
109.00	60.29	55.87288	7.9
112.00	60.06	54.95580	9.2
117.00	52.33	51.32104	1.9
164.00	47.99	46.66957	2.8
172.00	45.46	46.13636	-1.4

RØRETS RADIE 7.5CM

RINGENS RADIE 19.5CM

DATUM 761001 BENAMNING ... L19 .....

MARKVATTENBAND 2 DATAFIL NR 10

KLOCKAN TIM MIN	AVSANKNING I CM	TIDEN I MIN	TOTALMÅNGD I MM
8 36.5	2.5	0.0	0.00000
8 37.0	3.5	1.0	1.47928
8 38.0	5.1	2.6	3.84615
8 47.0	19.2	7.7	11.39050
9 3.0	17.0	14.5	21.44970
9 17.5	22.3	19.8	29.28990
9 44.0	32.7	30.2	44.67450
10 6.0	38.5	36.0	53.25440
10 32.0	49.0	46.5	68.78690
11 4.0	59.8	57.3	84.76330
11 35.0	69.0	66.5	98.37270

## INTENSITET

PUNKT(X+2)	PUNKT(X)	PUNKT(T+2)	PUNKT(T)	MM/TIMME
3.84615	0.00000	1.5	0.0	153.84600
11.39050	1.47928	10.5	0.5	59.46730
21.44970	3.84615	26.5	1.5	42.21650
29.28990	11.39050	41.0	10.5	35.21190
44.67450	21.44970	67.5	26.5	33.99750
53.25440	29.28990	83.5	41.0	33.83220
68.78690	44.67450	115.5	67.5	30.14950
84.76330	53.25440	147.5	83.5	29.53950
98.37270	68.78690	178.5	115.5	28.17690

## DATAFIL NR 10

## KORREKTION AV INTENSITETVÄRDEN

TID 1 NMH	TID 2 NMH	KORR
8.5	127.69200	0.830
1.5	40.43770	0.680
1E+0	15.20940	0.360
2E+0	10.56350	0.300
3E+0	10.19620	0.300
6E+0	10.14960	0.300
6E+0	9.04215	0.300
11E+0	8.86185	0.300
14E+0	8.45307	0.300

NÖRÉTS RADIE 7.5CM  
RINGENS RADIE 19.5CM

DATUM 761001 BENAMNING L20.....  
MÄRKVATTENBAND 2 DATAFIL NR 11

KLOCKAN TID MIN	AVSANKNING I CM	TIDEN I MIN	TOTALMANGD I MM
8 46.5	3.1	8.0	0.00000
8 47.5	5.2	2.1	3.10650
9 3.5	19.0	15.9	23.52070
9 18.0	29.5	26.4	39.05320
9 45.0	47.5	44.4	65.68040
10 1.0	58.5	55.4	81.95260
10 32.0	78.5	75.4	111.53800
10 44.0	85.1	82.0	121.30100
10 46.5	2.2	84.2	124.55600
11 4.0	12.0	94.0	139.05300
11 46.0	36.3	118.3	175.00000

## INTENSITET

PUNKT(X+2)	PUNKT(X)	PUNKT(T+2)	PUNKT(T)	MM/TIMME
23.52070	0.00000	17.0	0.0	33.01420
39.05320	3.10650	31.5	1.0	70.71480
65.68040	23.52070	58.5	17.0	60.95270
81.95260	39.05320	74.5	31.5	59.85960
111.53800	65.68040	105.5	58.5	58.54160
121.30100	81.95260	117.5	74.5	54.98470
124.55600	111.53800	120.0	105.5	53.86750
139.05300	121.30100	137.5	117.5	53.25500
175.00000	124.55600	179.5	120.0	50.86780

## DATAFIL NR 11

## KORREKTION AV INTENSITETVÄRDEN

TID I MIN	MM/H	KORR
1.0	33.01420	1.000
17.0	38.18590	0.540
31.5	26.81960	0.440
58.5	19.75360	0.330
74.5	18.14700	0.310
105.5	16.47140	0.300
117.5	16.16020	0.300
120.0	15.97680	0.300
137.5	15.26030	0.300

## INFILTROMETER

RÖRFTS RADIE 7.5CM  
RINGENS RADIE 19.5CM

DATUM 761001 BENAMNING L21.....  
MÄRVATTENBAND 2 DATAFIL NR 12

KLOCKAN TID MIN	AVSANKNING I CM	TIDEN I MIN	TOTALMÅNGD I MM
9 0.0	4.7	0.0	0.00000
9 1.0	5.5	0.8	1.18343
9 20.0	8.3	20.0	5.32544
9 46.5	9.7	46.5	7.39644
10 2.0	9.9	62.0	7.69230
10 33.0	10.7	93.0	8.87573
11 5.0	11.6	125.0	10.20710
11 58.0	12.7	178.0	11.83430

## INTENSITET

PUNKT(X+2)	PUNKT(X)	PUNKT(T+2)	PUNKT(T)	MM/TIMME
5.32544	0.00000	20.0	0.0	15.97630
7.39644	1.18343	46.5	1.0	8.13296
7.69230	5.32544	62.0	20.0	3.36122
8.87573	7.39644	93.0	46.5	1.98076
10.20710	7.69230	125.0	62.0	2.39504
11.83430	8.87573	178.0	93.0	2.08340

HORIZNS FORMULA	INDEX OF DETERM.	F0-FC	K	FC	F0
Y=FC+(F0-FC)EXP(KT)	0.933312	12.10	-2.865192	2.12	14.22

## MEAN AND STANDARD DEVIATION OF RAW DATA

	MEAN	STANDARD DEVIATION
X	57.91666667	45.94596464
Y	5.657116667	5.577148262

Y=FC+(F0-FC)EXP(KT) IS AN EXPONENTIAL FUNCTION. THE RESULTS OF A LEAST-SQUARES FIT OF ITS LINEAR TRANSFORM (SORTED IN ORDER OF ASCENDING VALUES OF X) ARE AS FOLLOWS:

X-ACTUAL	Y-ACTUAL	Y-CALC	PCT DIFFER
4.00	46.30	46.65661	17
4.00	6.19	6.77554	20.7
4.50	3.38	3.43337	-1.5
6.00	1.91	2.74652	-30.5
7.00	2.40	2.26257	5.8
12.50	2.99	2.15093	-2.9

HORSTNS FORMULA L22	INDEX OF DETERM.	F0-FC	K	F0	91
Y=FC + (F0-FC)EXP(KT)	0.799466	30.57	-4.005288	6.36	37.45

MEAN AND STANDARD DEVIATION OF RAW DATA

	MEAN	STANDARD DEVIATION
X	51.375	52.16632055
Y	39.43393625	60.43767956

$Y=FC + (F0-FC)\exp(kt)$  IS AN EXPONENTIAL FUNCTION. THE RESULTS OF A LEAST-SQUARES FIT OF ITS LINEAR TRANSFORM (SORTED IN ORDER OF ASCENDING VALUES OF X) ARE AS FOLLOWS:

X-ACTUAL	Y-ACTUAL	Y-CALC	PCT DIFFER
0.50	173.52	36.44804	376
1.00	84.72	35.47742	138.0
6.00	21.59	27.36192	-21.1
33.50	8.52	10.14672	-16
43.50	6.83	8.55571	-20.1
79.50	6.66	7.03154	-5.3
101.50	6.75	6.89790	-2.1
135.50	6.88	6.88361	0

RÖRSTS RADIE 7.50M  
RINGENS RADIE 19.50M

DATUM 761001 BENAMNING L24  
MARKVATTENBAND 2 DATAFIL NR 15

KLOCKAN TID MIN	AVSÄKNING I CM	TIDEN I MIN	TOTALMÅNGD I MM
9 56.5	3.4	0.0	0.00000
9 57.0	4.4	0.5	1.47928
9 58.0	6.2	1.5	4.14201
10 4.0	14.6	7.5	16.56800
10 34.5	39.2	38.0	52.95850
11 7.0	57.7	70.5	80.32540
11 31.5	70.5	95.0	99.26030
12 17.0	93.2	140.5	132.84000
12 42.0	105.5	165.5	151.03500

## INTENSITET

PUNKT(X+2)	PUNKT(X)	PUNKT(T+2)	PUNKT(T)	NN/TIMME
4.14201	0.00000	1.5	0.0	165.63000
16.56800	1.47928	7.5	0.5	129.33100
52.95850	4.14201	38.0	1.5	80.24620
80.32540	16.56800	70.5	7.5	60.72130
99.26030	52.95850	95.0	38.0	48.73870
132.84000	80.32540	140.5	70.5	45.01250
151.03500	99.26030	165.5	95.0	44.06050

DATAFIL NR 15

## KORREKTION AV INTENSITETVARDEN

TID I MIN	MM/H	KORR
0.5	165.63000	1.000
1.5	103.46400	0.800
2.5	45.74030	0.570
30.0	18.82360	0.310
70.5	14.62160	0.300
95.0	13.50370	0.300
140.5	13.21900	0.300

RØRETS RADIE 7.5CM  
RINGENS RADIE 19.5CM

DATUM 770503 BENAMNING .1.....  
MARKVATTENBAND 2 DATAFIL NR 16

KLOCKAN TIM MIN	AVSANKNING I CM	TIDEN I MIN	TOTALMANGD I MM
13 40.0	1.1	0.0	0.00000
13 42.0	1.1	2.0	0.00000
13 49.0	1.1	9.0	0.00066
13 59.0	1.1	19.0	0.00000
14 7.0	1.1	27.0	0.00000
14 24.0	1.1	44.0	0.00000
14 38.0	1.2	58.0	0.14793
14 51.0	1.4	71.0	0.44379
15 25.0	1.7	105.0	0.88757
15 55.0	1.8	135.0	1.03550
16 18.0	1.9	158.0	1.18343
16 47.0	1.9	187.0	1.18343
17 21.0	2.0	221.0	1.33136
17 33.0	2.0	233.0	1.33136

## INTENSITET

PUNKT(X+2)	PUNKT(X)	PUNKT(T+2)	PUNKT(T)	MM/TIMME
0.00000	0.00000	9.0	0.0	0.00000
0.00000	0.00000	19.0	2.0	0.00000
0.00000	0.00000	27.0	9.0	0.00000
0.00000	0.00000	44.0	19.0	0.00000
0.14793	0.00000	58.0	27.0	0.28631
0.44379	0.00000	71.0	44.0	0.98619
0.88757	0.14793	105.0	58.0	0.94423
1.03550	0.44379	135.0	71.0	0.55473
1.18343	0.88757	158.0	105.0	0.33493
1.18343	1.03550	187.0	135.0	0.17069
1.33136	1.18343	221.0	158.0	0.14689
1.33136	1.18343	233.0	187.0	0.19295

DATIM 770503 BENAMNING 2  
MARKVÄTTENBAND 2 DATAFIL NR 17

KLOCKAN TIM MIN	AVSANKNING I CM	TIDEN I MIN	TOTALMANGD I MM
13 48.0	10.7	0.0	0.00000
13 58.0	10.7	0.0	0.00000
14 6.0	10.8	0.1	0.14793
14 24.0	10.8	0.1	0.14793
14 38.0	10.8	0.1	0.14793
14 52.0	10.8	0.1	0.14793
15 25.0	10.8	0.1	0.14793
15 55.0	11.5	0.8	1.18343
16 18.0	11.5	0.8	1.18343
16 47.0	11.7	1.0	1.47928
17 21.0	11.9	1.2	1.77514
17 36.0	11.9	1.2	1.77514

### INTENSITET

PUNKT(X+2)	PUNKT(X)	PUNKT(T+2)	PUNKT(T)	MM/TIMME
0.14793	0.00000	18.0	0.0	0.49009
0.14793	0.00000	36.0	18.0	0.34137
0.14793	0.14793	50.0	18.0	0.00000
0.14793	0.14793	64.0	36.0	0.00000
0.14793	0.14793	97.0	50.0	0.00000
1.18343	0.14793	127.0	64.0	0.98619
1.18343	0.14793	150.0	97.0	1.17226
1.47928	1.18343	179.0	127.0	0.34137
1.77514	1.18343	213.0	150.0	0.56253
1.77514	1.47928	228.0	179.0	0.36228
HORLINS FORMULA	INDEX OF DETERM.	F0-FC	K	FC
Y=FC+(F0-FC)EXP(KT)	0.153471	0.32	-0.638532	0.36
				0.36

### MEAN AND STANDARD DEVIATION OF RAW DATA

X	MEAN	STANDARD DEVIATION
X	94.4	70.43547086
Y	0.42600892	0.402347205

Y=FC+(F0-FC)EXP(KT) IS AN EXPONENTIAL FUNCTION. THE RESULTS OF A LEAST-SQUARES FIT OF ITS LINEAR TRANSFORM (SORTED IN ORDER OF ASCENDING VALUES OF X) ARE AS FOLLOWS:

X-ACTUAL	Y-ACTUAL	Y-CALC	PCT DIFFER
10.00	0.49	0.64886	-24
18.00	0.34	0.62529	-45.4
36.00	0.00	0.57904	-100
50.00	0.00	0.54872	-100
64.00	0.00	0.52260	-100
97.00	0.99	0.47444	107.8
127.00	1.17	0.44316	164.0
150.00	0.34	0.42511	-19.6
179.00	0.56	0.40782	38.1
213.00	0.36	0.39006	-7.6

HORTONS FORMULA 3	INDEX OF DETERM.	F0-FC	K	FC	99	F0
$Y=FC + (F0-FC)EXP(KT)$	0.543227	1.05	-0.743478	4.23		5.28

MERN AND STANDARD DEVIATION OF RAW DATA

	MEAN	STANDARD DEVIATION
X	89	70.82999992
Y	4.0335114	1.241629766

$Y=FC + (F0-FC)EXP(KT)$  IS AN EXPONENTIALFUNCTION. THE RESULTS OF A LEAST-SQUARES FIT OF ITS LINEAR TRANSFORM (SORTED IN ORDER OF ASCENDING VALUES OF X) ARE AS FOLLOWS:

X-FACTUR	Y-ACTUAL	Y-CALC	PCT DIFFER
3.00	0.68	5.23846	-86.9
13.00	3.62	5.12093	-29.3
30.00	4.99	4.95170	0.8
45.00	4.59	4.82929	-4.9
59.00	4.05	4.73384	-14.4
91.00	4.44	4.56891	-2.8
121.00	4.84	4.46369	8.4
146.00	4.35	4.40144	-1
174.00	4.58	4.35118	5.2
268.00	4.19	4.30952	-2.8

## THERMOMETER

BORETS RADIE 7.5CM  
RIHCENS RADIE 19.5CM

DATUM 770503 BENAMNING .5.....  
MARKVATTENBAND 2 DATAFIL NR 20

KLOCKAN TIM MIN	AVSANKNING I CM	TIDEN I MIN	TOTALMANGD I MM
14 15.0	1.1	0.0	0.00000
14 21.0	1.2	6.0	0.14793
14 37.0	1.2	22.0	0.14793
14 53.0	1.2	38.0	0.14793
15 23.0	1.2	68.0	0.14793
15 53.0	1.2	98.0	0.14793
16 19.0	1.2	124.0	0.14793
16 47.0	1.4	152.0	0.44379
17 26.0	1.9	185.0	1.18343
17 49.0	2.0	214.0	1.33136

## INTENSITET

PUNKT(X+2)	PUNKT(X)	PUNKT(T+2)	PUNKT(T)	MM/TIMME
0.14793	0.00000	22.0	0.0	0.46344
0.14793	0.14793	38.0	6.0	0.00000
0.14793	0.14793	68.0	22.0	0.00000
0.14793	0.14793	98.0	38.0	0.00000
0.14793	0.14793	124.0	68.0	0.00000
0.44379	0.14793	152.0	98.0	0.32873
1.18343	0.14793	185.0	124.0	1.01852
1.33136	0.44379	214.0	152.0	0.85894

HORTONS FORMULA	INDEX OF DETERM.	F0-FC	K	FC	F0
Y=FC+(F0-FC)EXP(KT)	0.552570	1.27	-0.815292	0.83	2.10

## MEAN AND STANDARD DEVIATION OF RAW DATA

	MEAN	STANDARD DEVIATION
X	66.625	64.2160138
Y	0.326204125	0.413127367

Y=FC+(F0-FC)EXP(KT) IS AN EXPONENTIAL FUNCTION. THE RESULTS OF A LEAST-SQUARES FIT OF ITS LINEAR TRANSFORM (SORTED IN ORDER OF ASCENDING VALUES OF X) ARE AS FOLLOWS:

X-ACTUAL	Y-ACTUAL	Y-CALC	PCT DIFFER
0.00	0.40	2.00139	-79.8
22.00	0.00	1.77250	-100
38.00	0.00	1.58833	-100
58.00	0.00	1.33445	-100
68.00	0.00	1.16557	-100
124.00	0.33	1.06569	-69.1
152.00	1.02	0.99111	2.7
185.00	0.86	0.93289	-7.9

RØRETS RADIE 7.5CM  
RINCENS RADIE 19.5CM

DATUM 770503 BENAMNING .7.....  
MARKVATTENBAND 2 DATAFIL NR 22

KLOCKAN TIM MIN	AVSÄNKNING I CM	TIDEN I MIN	TOTALMÅNGD I MM
14 45.0	1.6	0.0	0.00000
14 51.0	1.8	0.2	0.29586
15 26.0	4.8	3.2	4.73372
15 56.0	6.3	4.7	6.95266
16 18.0	8.1	6.5	9.61538
16 48.0	9.5	7.9	11.68630
17 22.0	11.0	9.4	13.90530
17 58.0	12.8	11.2	16.56800

## INTENSITET

PUNKT(X+2)	PUNKT(X)	PUNKT(T+2)	PUNKT(T)	MM/TIMME
4.73372	0.00000	41.0	0.0	6.92739
6.95266	0.29586	71.0	6.0	6.14474
9.61538	4.73372	93.0	41.0	5.63268
11.68630	6.95266	123.0	71.0	5.46189
13.90530	9.61538	157.0	93.0	4.02180
16.56800	11.68630	193.0	123.0	4.19131

HORIÖNS FORMULA Y=FC+(F0-FC)EXP(KT)	INDEX OF DETERM.	F0-FC	K	FC	F0
0.997456		2.49	-0.701652	4.59	7.08

## MEAN AND STANDARD DEVIATION OF RAW DATA

	MEAN	STANDARD DEVIATION
X	81.83333333	54.78167946
Y	5.395468333	1.124521448

Y=F0+(F0-FC)EXP(KT) IS AN EXPONENTIALFUNCTION. THE RESULTS  
OF A LEAST-SQUARES FIT OF ITS LINEAR TRANSFORM  
(SORTED IN ORDER OF ASCENDING VALUES OF X)  
ARE AS FOLLOWS:

X-PCTURL	Y-ACTUAL	Y-CALC	PCT DIFFER
6.00	6.93	6.90964	0.3
41.00	6.14	6.13051	0.2
71.00	5.63	5.67468	-6.7
93.00	5.46	5.42863	0.6
123.00	4.62	5.18049	-22.3
157.00	4.18	4.98676	-16



## INFILTROMETER

RÖRE TS RADIE - 7.5CM  
RINCENS RADIE 19.5CM

DATUM 770504 BENAMNING 9.....  
MARKVATTENBAND 2 DATAFIL NR 24

KLOCKAN TIM MIN	AVSANKNING I CM	TIDEN I MIN	TOTALMÅNGD I MM
8 50.0	1.1	0.0	0.00000
9 8.0	1.2	8.1	0.14793
9 26.0	1.2	0.1	0.14793
9 56.0	1.2	0.1	0.14793
10 13.0	1.6	0.5	0.73954
10 47.0	2.0	0.9	1.33136
11 16.0	3.1	2.0	2.95857
12 2.0	4.9	3.8	5.62136
12 54.0	4.9	3.8	5.62136
13 11.0	5.8	4.7	6.95266
13 38.0	6.5	5.4	7.98816
13 56.0	6.5	5.4	7.98816
14 39.0	7.2	6.1	9.02366
14 57.0	7.2	6.1	9.02366
15 22.0	7.2	6.1	9.02366
15 55.0	7.3	6.2	9.17159
16 5.0	7.3	6.2	9.17159

## INTENSITET

PUNKT(X+2)	PUNKT(X)	PUNKT(T+2)	PUNKT(T)	MM/TIMME
0.14793	0.00000	36.0	0.0	0.24655
0.14793	0.14793	66.0	18.0	0.60000
0.73964	0.14793	63.0	36.0	0.75138
1.33136	0.14793	117.0	66.0	1.33227
2.95857	0.73964	146.0	83.0	2.11326
5.62136	1.33136	192.0	117.0	3.43195
5.62136	2.95857	244.0	146.0	1.60824
6.95266	5.62136	261.0	192.0	1.15779
7.98816	5.62136	288.0	244.0	3.22753
7.98816	6.95266	306.0	261.0	1.98666
9.02366	7.98816	349.0	288.0	1.81152
9.02366	7.98816	367.0	306.0	1.81152
9.02366	9.02366	392.0	349.0	0.00000
9.17159	9.02366	425.0	367.0	0.15303
9.17159	9.02366	435.0	392.0	0.22641

RÖRE TS RADIE 7.5CM  
RINGENS RADIE 19.5CM

DATUM 770504 BENAMNING 10.....  
MARKVATTENBAND 2 DATAFIL NR 25

KLOCKAM TIM MIN	AVSANKNING I CM	TIDEN I MIN	TOTALMÅNGD I MM
8 56.0	2.9	0.0	0.00000
9 7.0	6.5	3.6	5.32544
9 27.0	14.2	11.3	16.71598
9 56.0	25.0	22.1	32.69238
10 13.0	30.5	27.6	40.82848
10 48.0	42.0	39.1	57.84028
10 51.0	3.6	42.7	63.16568
11 14.0	7.0	46.1	68.19528
11 46.0	17.0	56.1	82.98818
12 3.0	22.3	61.4	90.82848
12 30.0	30.0	69.1	102.21808
12 50.0	36.3	75.4	111.53888
13 8.0	42.5	81.6	120.71008
13 36.0	51.0	90.1	133.28488
13 58.0	57.7	96.8	143.19588
14 12.0	61.7	100.8	149.11288
14 15.0	4.3	105.1	155.47388
14 37.0	7.2	108.0	159.76388
14 55.0	12.8	113.6	168.04788
15 28.0	23.0	123.8	183.13688
15 54.0	30.9	131.7	194.82288
16 15.0	37.5	138.3	204.58588
16 24.0	41.2	142.0	210.05988

## INTENSITET

PUNKT(X+2)	PUNKT(X)	PUNKT(T+2)	PUNKT(T)	MM/TIMME
16.71598	0.00000	31.0	0.0	32.35388
32.69238	5.32544	60.0	11.0	33.51048
40.82848	16.71598	77.0	31.0	31.45108
57.84028	32.69238	112.0	60.0	29.01688
63.16568	40.82848	115.0	77.0	35.26928
68.19528	57.84028	138.0	112.0	23.89618
82.98818	63.16568	170.0	115.0	31.63458
90.82848	82.98818	187.0	138.0	37.75438
102.21808	90.82848	214.0	170.0	26.22258
111.53888	96.82848	234.0	187.0	26.42778
120.71008	102.21808	252.0	214.0	29.19788
133.28488	111.53888	280.0	234.0	28.36438
143.19588	120.71008	302.0	252.0	26.98208
149.11288	133.28488	316.0	280.0	26.39008
155.47388	143.19588	319.0	302.0	43.33118
159.76388	149.11288	341.0	316.0	25.56248
168.04788	155.47388	359.0	319.0	18.86108
183.13688	159.76388	392.0	341.0	27.49768
194.82288	168.04788	418.0	359.0	27.22688
204.58588	183.13688	439.0	392.0	27.38178
210.05988	194.82288	448.0	418.0	30.47408

RÖRETS RADIE 7.5CM  
RÖRLENS RADIE 19.5CM

DATOM 770504 BENAMNING .11.....  
MÄRKVATTENBAND 2 DATAFIL NR 26

KLOCKAN TID MIN	AVSANKNING I CM	TIDEN I MIN	TOTALMÅNGD I MM
9 5.0	1.4	0.0	0.00000
9 28.0	7.8	6.4	9.46745
9 58.0	15.8	14.4	21.30170
10 14.0	19.1	17.7	26.18340
10 48.0	27.2	25.8	38.16560
11 15.0	33.4	32.0	47.33720
11 46.0	40.3	38.9	57.54430
12 5.0	45.0	43.6	64.49700
12 31.0	51.2	49.8	73.66860
12 52.0	56.0	54.6	80.76920
13 18.0	60.4	59.0	87.27810
13 37.0	67.5	66.1	97.78100
13 58.0	73.0	71.6	105.91700
14 38.0	83.3	81.9	121.15300
14 56.0	87.4	86.0	127.21800
15 20.0	8.5	86.5	127.95800
15 54.0	9.0	95.0	140.53200
16 16.0	14.9	100.9	149.26000
16 52.0	24.8	110.8	163.90500

## INTENSITET

PUNKT(X+2)	PUNKT(X)	PUNKT(T+2)	PUNKT(T)	MM/TIMME
21.30170	0.00000	53.0	0.0	24.11510
26.18340	9.46745	69.0	23.0	21.80340
38.16560	21.30170	103.0	53.0	20.23660
47.33720	26.18340	130.0	69.0	20.80700
57.54430	38.16560	161.0	103.0	20.04690
64.49700	47.33720	180.0	130.0	20.59170
73.66860	57.54430	206.0	161.0	21.49900
80.76920	64.49700	227.0	180.0	20.77300
87.27810	73.66860	245.0	206.0	20.99760
97.78100	80.76920	272.0	227.0	22.63240
105.91700	87.27810	293.0	245.0	23.23860
121.15300	97.78100	333.0	272.0	23.92080
127.21800	105.91700	351.0	293.0	22.03550
127.95800	121.15300	375.0	333.0	9.72142
140.53200	127.21800	409.0	351.0	13.77310
149.26000	127.95800	431.0	375.0	22.82050
163.90500	140.53200	467.0	409.0	24.17390

## INFILTROMETER

RÖFETS RADIE 7.5CM  
RINGENS RADIE 19.5CM

DATUM 770504 BENAMNING 12.....  
MARKVATTENBAND 2 DATAFIL NR 27

KLOCKAN TIM MIN	AVSÄNKNING I CM	TIDEN I MIN	TOTALMÅNGD I MM
9 14.0	2.4	0.0	0.00000
9 23.0	5.3	15.0	4.28994
9 59.0	10.0	45.0	11.24260
10 17.0	12.3	63.0	14.64490
10 52.0	17.3	98.0	22.04140
11 14.0	20.9	120.0	27.36680
11 45.0	26.3	152.0	35.35500
12 6.0	30.2	172.0	41.12420
12 29.0	33.1	195.0	45.41420
12 50.0	36.8	216.0	50.88750
13 8.0	40.0	234.0	55.62130
13 35.0	45.9	261.0	64.34910
13 59.0	50.6	285.0	71.30170
14 36.0	57.9	322.0	82.10050
14 54.0	61.1	340.0	86.83430
15 27.0	68.9	373.0	98.37270
15 53.0	73.3	399.0	104.88100
16 18.0	79.5	424.0	114.05300
16 28.0	81.4	434.0	116.86300

## INTENSITET

PUNKT(X+2)	PUNKT(X)	PUNKT(T+2)	PUNKT(T)	MM/TIMME
11.24260	0.00000	45.0	0.0	14.99010
14.64490	4.28994	63.0	15.0	12.94370
22.04140	11.24260	98.0	45.0	12.22500
27.36680	14.64490	120.0	63.0	13.39140
35.35500	22.04140	152.0	98.0	14.79280
41.12420	27.36680	172.0	120.0	15.87390
45.41420	35.35500	195.0	152.0	14.62600
50.88750	41.12420	216.0	172.0	13.31350
55.62130	45.41420	234.0	195.0	15.79920
64.34910	50.88750	261.0	216.0	17.94880
71.30170	55.62130	285.0	234.0	18.44750
82.10050	64.34910	322.0	261.0	17.46030
86.83430	71.30170	340.0	285.0	16.94460
98.37270	82.10050	373.0	322.0	19.14370
104.88100	86.83430	399.0	340.0	18.35250
114.05300	98.37270	424.0	373.0	18.44740
116.86300	104.88100	434.0	399.0	20.54650

## INFILTROMETER

RÖRETS RADIE 7.5CM  
RINCENS RADIE 19.5CM

DATUM 770504 BENAMNING 13.....  
MARKVATTENBAND 2 DATAFIL NR 28

KLOCKAN TIM MIN	AVSÄNKNING I CM	TIDEN I MIN	TOTALMÅNGD I MM
9 23.0	1.2	0.0	0.00000
9 29.0	1.3	6.0	0.14793
9 59.0	1.3	36.0	0.14793
10 17.0	1.3	54.0	0.14793
10 53.0	1.3	90.0	0.14793
11 14.0	1.3	111.0	0.14793
11 47.0	1.3	144.0	0.14793
12 7.0	1.3	164.0	0.14793
12 29.0	1.4	186.0	0.29586
12 49.0	2.0	206.0	1.18343
13 7.0	2.0	224.0	1.18343
13 35.0	2.0	252.0	1.18343
13 42.0	2.0	259.0	1.18343

## INTENSITET

PUNKT(X+2)	PUNKT(X)	PUNKT(T+2)	PUNKT(T)	MM/TIMME
0.14793	0.00000	36.0	0.0	0.24655
0.14793	0.14793	54.0	6.0	0.00000
0.14793	0.14793	90.0	36.0	0.00000
0.14793	0.14793	111.0	54.0	0.00000
0.14793	0.14793	144.0	90.0	0.00000
0.14793	0.14793	164.0	111.0	0.00000
0.29586	0.14793	186.0	144.0	0.21133
1.18343	0.14793	206.0	164.0	1.47028
1.18343	0.29586	224.0	186.0	1.48143
1.18343	1.18343	252.0	206.0	0.66666
1.18343	1.18343	259.0	224.0	0.00000

## INFILTROMETER

RÖRSTS RADIE 7.5CM  
RIMCENS RADIE 19.5CM

DATUM 770504 BENAMNING 14.....  
MARKVATTENBAND 2 DATAFIL NR 29

KLOCKAN T1M MIN	ÖVSANKNING CM	TIDEN I MIN	TOTALMÅNGD I MM
9 38.0	6.7	0.0	0.00000
9 55.0	6.7	6.0	8.87573
10 18.0	13.1	12.4	18.34310
10 15.0	21.0	20.3	30.02950
11 12.0	29.3	28.6	42.30760
11 43.0	39.5	38.8	57.39640
12 10.0	47.8	47.1	69.67450
12 27.0	53.3	52.6	77.81060
12 45.0	59.8	59.1	87.42600
13 4.0	65.5	64.8	95.85790
13 30.0	74.4	73.7	109.02300
13 34.0	8.8	74.5	110.20700
13 54.0	6.5	80.2	118.63900
14 34.0	20.5	94.2	139.34900
14 50.0	26.9	100.6	148.81600
15 23.0	41.2	114.9	169.97000
15 57.0	53.5	127.2	188.16500
16 21.0	63.4	137.1	202.81000
16 33.0	67.9	141.6	209.46700

## INTENSITET

PUNKT(X+2)	PUNKT(X)	PUNKT(T+2)	PUNKT(T)	MM/TIMME
18.34310	0.00000	40.0	0.0	27.51460
30.02950	8.87573	67.0	17.0	25.38450
42.30760	13.34310	94.0	40.0	26.62720
57.39640	30.02950	125.0	67.0	28.31050
69.67450	42.30760	152.0	94.0	28.31050
77.81060	57.39640	169.0	125.0	27.83750
87.42600	65.5	187.0	152.0	30.43110
95.85790	74.4	206.0	169.0	29.26580
109.02300	8.8	232.0	187.0	28.79600
110.20700	21.0	236.0	206.0	28.69820
118.63900	13.1	256.0	232.0	24.81000
139.34900	29.3	296.0	236.0	29.14200
148.81600	39.5	312.0	256.0	32.33250
169.97000	47.8	345.0	296.0	37.49510
188.16500	53.5	379.0	312.0	35.23790
202.81000	63.4	403.0	345.0	33.97240
209.46700	67.9	415.0	379.0	35.50330

KLICKRN	WWSRANKING	TIDEN	CM	I MIN	I MM	TOTALMÄNGD	MIN MÄN	I MIN	I CM	WWSRANKING	KLICKRN
DATAFILE NR 30											
9 44,0	1 0	0,0	0,0	0,0	0,0	0,00000	0,00000	0,00000	0,00000	1 0	9 44,0
9 55,0	1 0	0,0	0,0	0,0	0,0	0,00000	0,00000	0,00000	0,00000	1 0	9 55,0
10 19,0	1 0	0,0	0,0	0,0	0,0	0,69230	0,69230	0,69230	0,69230	1 0	10 19,0
10 45,0	6,2	5,2	35,0	35,0	35,0	15,7	14,7	14,7	14,7	1 0	10 45,0
11 13,0	11,2	10,2	61,0	61,0	61,0	11,2	10,2	10,2	10,2	1 1	11 13,0
11 43,0	20,3	19,3	119,0	119,0	119,0	25,9	24,9	24,9	24,9	1 2	11 43,0
12 27,0	23,8	22,8	119,0	119,0	119,0	27,0	27,0	27,0	27,0	1 2	12 27,0
12 46,0	30,0	29,0	163,0	163,0	163,0	46,0	46,0	46,0	46,0	1 2	12 46,0
12 51,0	33,4	32,4	201,0	201,0	201,0	51,0	51,0	51,0	51,0	1 2	12 51,0
13 31,0	36,6	35,6	227,0	227,0	227,0	31,0	31,0	31,0	31,0	1 3	13 31,0
13 48,0	39,1	38,1	244,0	244,0	244,0	48,0	48,0	48,0	48,0	1 3	13 48,0
13 66270	42,9940	227,0	182,0	182,0	182,0	66270	66270	66270	66270	1 3	13 66270
14 11910	143,0	142,0	143,0	143,0	143,0	11910	11910	11910	11910	1 4	14 11910
14 29940	33,72780	182,0	119,0	119,0	119,0	29940	29940	29940	29940	1 4	14 29940
15 31360	21,74550	143,0	89,0	89,0	89,0	31360	31360	31360	31360	1 5	15 31360
15 61460	15,61460	119,0	61,0	61,0	61,0	61460	61460	61460	61460	1 5	15 61460
15 92568	18,16640	11,000	1,000	1,000	1,000	92568	92568	92568	92568	1 5	15 92568
16 10640	18 10640	1,000	1,000	1,000	1,000	10640	10640	10640	10640	1 6	16 10640
17 27240	13,27240	0,850	0,850	0,850	0,850	27240	27240	27240	27240	1 7	17 27240
18 99408	41,17268	0,300	0,300	0,300	0,300	99408	99408	99408	99408	1 8	18 99408
19 30300	3,99300	0,300	0,300	0,300	0,300	30300	30300	30300	30300	1 9	19 30300
20 25531	5,25531	0,300	0,300	0,300	0,300	25531	25531	25531	25531	2 0	20 25531
21 90531	3,90531	0,300	0,300	0,300	0,300	90531	90531	90531	90531	2 1	21 90531
22 7770	3,52965	0,300	0,300	0,300	0,300	7770	7770	7770	7770	2 2	22 7770
23 91770	3,13110	0,300	0,300	0,300	0,300	91770	91770	91770	91770	2 3	23 91770
24 11100	11,76550	0,300	0,300	0,300	0,300	11100	11100	11100	11100	2 4	24 11100

LÖSUNGSEILATION AV INTERNETVÄRLDETEN

DATATEIL NR 30

DATUM 770504 BENAMNING 16.....  
MARIVATTENBAND 2 DATAFIL NR 31

KLOCKAN TIM MIN	AVSANKNING CM	TIDEN I MIN	TOTALMÅNGD I MM
9 52.0	3.5	0.0	0.00000
9 55.0	6.5	3.0	4.43786
10 2.0	23.4	19.9	29.43786
10 29.0	63.5	60.0	88.75730
10 41.0	103.5	106.0	156.80400
10 44.0	3.5	109.5	161.98200
11 13.0	64.5	170.5	252.21800
11 42.0	4.5	175.0	258.87500
11 54.0	29.0	199.5	295.11800
12 8.0	56.2	226.7	335.35500
12 23.0	84.2	254.7	376.77500
12 25.0	4.7	259.4	383.72700
12 47.0	47.4	302.1	446.89300
13 6.0	82.3	337.0	498.52000
13 19.0	9.8	346.8	513.01700
13 32.0	32.5	369.5	546.59700
13 53.0	71.5	408.5	604.26900
14 9.0	6.0	414.5	613.16500
14 34.0	54.6	463.1	685.05900
14 51.0	87.3	495.8	733.43100
15 2.0	108.2	516.7	764.34900
15 6.0	4.7	521.4	771.30100
15 24.0	40.3	557.0	823.96400
15 43.0	76.0	592.7	876.77500
15 48.0	2.0	594.7	879.73300
16 20.0	62.1	654.8	968.63900
16 37.0	96.0	688.7	1018.78000

### INTENSITET

PUNKT(X+2)	PUNKT(X)	PUNKT(T+2)	PUNKT(T)	MM/TIMME
29.43780	0.00000	10.0	0.0	176.62600
88.75730	4.43786	20.0	3.0	202.36600
156.80400	29.43780	49.0	10.0	195.94800
161.98200	88.75730	52.0	28.0	183.06100
252.21800	156.80400	81.0	49.0	178.99100
258.87500	161.98200	110.0	52.0	188.23400
295.11800	252.21800	122.0	81.0	162.79440
335.35500	258.87500	136.0	110.0	176.49300
376.77500	295.11800	151.0	122.0	168.94500
383.72700	335.35500	153.0	136.0	170.72400
446.89300	376.77500	175.0	151.0	175.29500
498.52000	383.72700	194.0	153.0	167.93900
513.01700	446.89300	207.0	175.0	123.93200
546.59700	498.52000	220.0	194.0	110.94600
613.16500	513.01700	241.0	207.0	161.00100
618.16500	546.59700	257.0	220.0	127.94300
668.28900	613.16500	282.0	241.0	118.26000
703.43100	618.28900	299.0	257.0	171.80000
764.34900	668.28900	310.0	282.0	165.96700
771.30100	703.43100	314.0	299.0	151.48000
813.36400	764.34900	332.0	310.0	162.58600
876.77500	771.30100	351.0	314.0	171.03800
879.73300	813.36400	356.0	332.0	139.42200
968.63900	876.77500	388.0	351.0	148.96800
1018.78000	879.73300	405.0	356.0	170.26100

HORTONS FORMULA 16	INDEX OF DETERM.	F0-FC	K	FC	F0
$Y=FC + (F0-FC) \exp(kt)$	0.614059	53.70	-0.526738	47.15	100.85

## MEAN AND STANDARD DEVIATION OF RAW DATA

	MERN	STANDARD DEVIARTION
X	192.84	117.7087437
Y	63.18234	36.05374129

$Y=FC + (F0-FC) \exp(kt)$  IS AN EXPONENTIAL FUNCTION. THE RESULTS OF A LEAST-SQUARES FIT OF ITS LINEAR TRANSFORM (SORTED IN ORDER OF ASCENDING VALUES OF X) ARE AS FOLLOWS:

X-ACTUAL	Y-ACTUAL	Y-CALC	PCT DIFFER
3.00	162.50	99.45115	63.3
18.00	153.80	96.33387	59.6
28.00	123.45	89.14474	38.4
49.00	98.85	82.07442	20.4
52.00	94.82	81.16662	16.8
61.00	45.11	73.52086	-38.6
110.00	24.48	67.59360	-63.7
122.00	67.07	65.54948	2.3
136.00	60.82	63.42153	-4.1
151.00	58.90	61.41391	-4
153.00	60.48	61.16565	-1.1
175.00	54.68	58.70406	-6.9
194.00	39.05	56.92900	-31.3
207.00	33.84	55.87429	-39.4
220.00	48.32	54.93333	-12
241.00	32.38	53.62291	-39.6
257.00	35.46	52.77467	-32.8
262.00	51.54	51.66628	-0.2
299.00	50.97	51.04014	-0.1
310.00	45.44	50.68205	-10.3
314.00	48.78	50.56017	-3.5
322.00	51.31	50.06171	2.4
331.00	41.83	49.61438	-15.6
356.00	44.69	49.50855	-9.7
363.00	51.08	48.93090	4.3

HODGES FORMULA 17

 $Y=FC + (F0-FC)EXP(KT)$ INDEX OF  
DETERM.

0.287431

F0-FC

0.99

K

-0.247935

FC 125

5.23

Fit

6.22

## MEAN AND STANDARD DEVIATION OF RAW DATA

	MEAN	STANDARD DEVIATION
X	189.8571429	105.7172260
Y	5.795749286	0.442554796

$Y=FC + (F0-FC)EXP(KT)$  IS AN EXPONENTIAL FUNCTION. THE RESULTS OF A LEAST-SQUARES FIT OF ITS LINEAR TRANSFORM (SORTED IN ORDER OF ASCENDING VALUES OF X) ARE AS FOLLOWS:

X-ACTUAL	Y-ACTUAL	Y-CALC	PCT DIFFER
28.00	6.44	6.11121	5.4
50.00	6.06	6.03481	0.4
86.00	6.06	5.92384	2.2
112.00	6.05	5.85336	3.3
138.00	6.24	5.88882	7.3
147.00	6.07	5.76969	5.1
165.00	5.57	5.72909	-2.8
191.00	5.49	5.68030	-3.4
216.00	5.37	5.63630	-4.7
255.00	5.03	5.57613	-9.7
271.00	5.49	5.55411	-1.2
305.00	5.37	5.51189	-2.6
338.00	5.51	5.47621	0.6
363.00	6.41	5.45224	17.5

RÖRETS RADIE 7.5CM  
RINCLENS RADIE 19.5CM

DATUM 770504 BENAMNING 19.....  
MARKVATTENBAND 2 DATAFIL NR 34

KLOCKAN TID MIN	AVSÄNKNING I CM	TIDEN I MIN	TOTALMÅNGD I MM
14 3.0	9.8	0.0	0.00000
14 35.0	3.6	32.0	4.14201
14 53.0	4.9	50.0	6.06508
15 25.0	6.8	82.0	8.87573
15 50.0	8.8	107.0	11.83430
16 19.0	11.9	136.0	15.08870
16 42.0	13.1	159.0	18.19520
17 2.0	14.2	179.0	19.82240

## INTENSITET,

PUNKT(X+2)	PUNKT(X)	PUNKT(T+2)	PUNKT(T)	MM/TIMME
6.06508	0.00000	50.0	0.0	7.27309
8.87573	4.14201	82.0	32.0	5.68046
11.83430	6.06508	107.0	50.0	6.07286
15.08870	8.87573	136.0	82.0	6.90330
18.19520	11.83430	159.0	107.0	7.33550
19.82240	15.08870	179.0	136.0	6.68516

HORTONS FORMULA	INDEX OF DETERM.	F0-FC	K	FC	1.0
Y=FC+(F0-FC)EXP(KT)	0.501440	1.62	-0.915196	6.66	8.20

## MEAN AND STANDARD DEVIATION OF RAW DATA

	MEAN	STANDARD DEVIATION
X	94.3333333	49.15553546
Y	6.646561667	0.664696363

DATA X(Y) FC(K) EXP(KT) IS AN EXPONENTIALFUNCTION. THE RESULTS OF A LEAST-SQUARES FIT OF ITS LINEAR TRANSFORM SORTED IN ORDER OF ASCENDING VALUES OF X ARE AS FOLLOWS:

X-FCTUAL	Y-ACTUAL	Y-CALC	PCT DIFFER
52.00	7.29	7.65455	-4.9
56.00	5.68	7.41577	-23.4
62.00	6.07	7.12389	-14.7
67.00	6.90	6.97681	-1
106.00	7.34	6.86356	6.9
159.00	6.61	6.80333	-2.9

## KORREKTION HV INTENSITETVARDEN 20

TID I MIN	MM/H	KORR
4.0	53.25400	0.660
11.0	19.43760	0.480
28.0	11.57230	0.370
32.0	9.46507	0.310
45.0	8.60946	0.300
62.0	8.26365	0.300
74.0	8.62725	0.300
87.0	8.17173	0.300
103.0	7.78332	0.300
126.0	8.35968	0.300
146.0	7.77225	0.300
163.0	7.78845	0.300
186.0	8.52069	0.300
188.0	7.52484	0.300
209.0	7.60776	0.300
230.0	8.05155	0.300
251.0	8.50890	0.300
276.0	7.82820	0.300
301.0	7.64100	0.300
322.0	8.85375	0.300
341.0	8.96904	0.300
379.0	8.28399	0.300
413.0	7.77234	0.300

HORLONS FORMULA INDEX OF F0-FC K FC F0  
 $Y = FC + (F0-FC) \exp(-KT)$  DETERM. 0.865972 19.66 -3.222810 7.74 27.46

## MEAN AND STANDARD DEVIATION OF RAW DATA

	MERN	STANDARD DEVIATION
X	48.6666667	34.94281042
Y	15.02048667	14.79432622

$Y = FC + (F0-FC) \exp(-KT)$  IS AN EXPONENTIALFUNCTION. THE RESULTS OF A LEAST-SQUARES FIT OF ITS LINEAR TRANSFORM (SORTED IN ORDER OF ASCENDING VALUES OF X) ARE AS FOLLOWS:

X-ACTUAL	Y-ACTUAL	Y-CALC	PCT DIFFER
4.00	53.25	23.59860	125.6
11.00	19.44	18.62861	4.3
28.00	11.57	14.45468	-19.9
32.00	9.47	11.26448	-15.9
45.00	8.61	9.49323	-9.3
62.00	8.26	8.44351	-2.1
74.00	8.63	8.10927	6.3
87.00	8.17	7.92369	3.1
103.00	7.78	7.81778	-0.4

## KORREKTION AV INTENSITETSVARDENA 21

TID I MIN	MM/H	KORR
7.0	18.97180	0.570
16.0	6.73211	0.410
27.0	4.75955	0.330
40.0	3.23104	0.305
56.0	3.37278	0.300
79.0	3.72780	0.300
83.0	3.39726	0.300
99.0	3.20892	0.300
122.0	3.15810	0.300
142.0	3.47634	0.300
158.0	3.48201	0.300
181.0	3.22923	0.300
205.0	3.07692	0.300
226.0	3.96162	0.300
246.0	3.87828	0.300
272.0	3.19524	0.300
296.0	3.25443	0.300
317.0	3.37710	0.300
337.0	3.62679	0.300
375.0	3.88314	0.300
409.0	5.79141	0.300

HORIOMS FORMULA INDEX OF DETERM.  
 $Y=FC+(F0-FC)\exp(KT)$  8.934490 F0-FC K FC F0  
 13.46 -4.523808 3.66 17.12

## MEAN AND STANDARD DEVIATION OF RAW DATA

	MEAN	STANDARD DEVIATION
X	36.33333333	24.40218569
Y	6.79918	6.103154622

$Y=FC+(F0-FC)\exp(KT)$  IS AN EXPONENTIALFUNCTION. THE RESULTS OF A LEAST-SQUARES FIT OF ITS LINEAR TRANSFORM (SORTED IN ORDER OF ASCENDING VALUES OF X) ARE AS FOLLOWS:

X-ACTUAL	Y-ACTUAL	Y-CALC	PCT DIFFER
7.00	18.97	11.59889	63.5
16.00	6.73	7.68773	-12.4
27.00	4.76	5.41740	-12.1
40.00	3.23	4.31947	-25.1
56.00	3.37	3.82974	-11.9
79.00	3.73	3.72868	0

HORVAT'S FORMULA 22 INDEX OF DETERM.  
 $Y = FC + (F0-FC) \exp(-KT)$  0.990396 27.98 -4.246560 9.58 37.56

## MEAN AND STANDARD DEVIATION OF RAW DATA

	MEAN	STANDARD DEVIATION
X	42.5	25.84376134
Y	13.47972333	6.52252329

$Y = FC + (F0-FC) \exp(-KT)$  IS AN EXPONENTIAL FUNCTION. THE RESULTS OF A LEAST-SQUARES FIT OF ITS LINEAR TRANSFORM (SORTED IN ORDER OF ASCENDING VALUES OF X) ARE AS FOLLOWS:

X-ACTUAL	Y-ACTUAL	Y-CALC	PCT DIFFER
9.00	25.78	24.37799	5.7
21.00	15.62	15.90924	-1.8
34.00	11.54	12.10210	-4.6
51.00	8.57	10.33722	-17
63.00	9.98	9.90387	0
77.00	9.47	9.70024	-2.3

RÖRETS RADIE 7.5CM  
RINCENS RADIE 19.5CM

DATUM 770505 BENAMNING 24.....  
MÄRFVATTENBAND 2 DATAFIL NR 39

KLOCKAN TID MIN	AVSANKNING I CM	TIDEN I MIN	TOTALMÅNGD I MM
9 0.0	3.1	0.0	0.00000
9 14.0	4.6	14.0	2.21893
9 32.0	6.2	32.0	4.58579
9 44.0	7.3	44.0	6.21381
9 59.0	8.9	59.0	8.57988
10 13.0	10.2	73.0	10.50290
10 32.0	12.2	92.0	13.46150
11 12.0	15.9	132.0	18.93490
11 35.0	18.0	155.0	22.04148
11 56.0	20.1	178.0	25.14798
12 20.0	22.2	200.0	28.25448
12 38.0	23.7	218.0	30.47388
13 1.0	25.6	241.0	33.28488
13 30.0	28.1	270.0	36.98226
13 51.0	29.8	291.0	39.49700
14 11.0	31.0	311.0	41.71590
14 48.0	33.9	348.0	45.56210
15 22.0	36.3	382.0	49.11246
16 19.0	39.5	439.0	53.84619

## INTENSITET

PUNKT(X+2)	PUNKT(X)	PUNKT(T+2)	PUNKT(T)	MM/TIMME
4.58579	0.00000	32.0	0.0	8.56285
6.21381	2.21893	44.0	14.0	7.98816
8.57988	4.58579	59.0	32.0	8.87575
10.50290	6.21381	73.0	44.0	8.87563
13.46150	8.57988	92.0	59.0	8.87567
18.93490	10.50290	132.0	73.0	8.57491
22.04148	13.46150	155.0	92.0	8.17130
25.14798	18.93490	178.0	132.0	8.16191
28.25448	22.04148	200.0	155.0	8.28299
30.47388	25.14798	218.0	178.0	7.98810
33.28488	28.25448	241.0	200.0	7.28039
36.98226	30.47388	270.0	218.0	7.51125
39.49700	33.28488	291.0	241.0	7.43069
41.71590	36.98226	311.0	270.0	6.92736
45.56210	39.49700	348.0	291.0	6.35431
49.11246	41.71590	382.0	311.0	6.25056
53.84619	45.56210	439.0	348.0	5.46197

## INFILTRÖMETER

RÖRETS RADIE 7.5CM  
RINGENS RADIE 19.5CM

DATUM 770505 BENAMNING 25.....  
MARKVATTENBAND 2 DATAFIL NR 40

KLOCKAN TIM MIN	AVSANKNING I CM	TIDEN I MIN	TOTALMÅNGD I MM
9 12.0	2.6	0.0	0.00000
9 24.0	2.9	12.0	0.44379
9 31.0	3.5	19.0	1.33136
9 42.0	3.5	30.0	1.33136
9 57.0	3.7	45.0	1.62721
10 16.0	4.7	64.0	3.10650
10 33.0	5.1	81.0	3.69822
10 55.0	5.5	103.0	4.28994
11 14.0	5.8	122.0	4.73372
11 45.0	7.0	153.0	6.50887
12 2.0	7.3	170.0	6.95266
12 23.0	8.2	191.0	8.28402
12 43.0	8.7	211.0	9.02366
13 8.0	9.5	236.0	10.20710
13 32.0	9.9	260.0	10.79880
13 54.0	10.9	282.0	12.27810
14 13.0	11.6	301.0	13.31360
14 55.0	12.8	341.0	15.08870
15 25.0	13.5	373.0	16.12420
15 42.0	14.3	390.0	17.30760

## INTENSITET

PUNKT(X+2)	PUNKT(X)	PUNKT(T+2)	PUNKT(T)	MM/TIMME
1.33136	0.00000	19.0	0.0	4.26429
1.33136	0.44379	30.0	12.0	2.95858
1.62721	1.33136	45.0	19.0	0.68373
3.10650	1.33136	64.0	30.0	3.10650
3.69822	1.62721	81.0	45.0	3.47160
4.28994	3.10650	103.0	64.0	1.82067
4.73372	3.69822	122.0	81.0	1.51536
6.50887	4.28994	153.0	103.0	2.62571
6.95266	4.73372	170.0	122.0	2.77667
7.30760	6.50887	191.0	153.0	2.80000
9.02366	6.95266	211.0	170.0	3.03673
10.20710	8.28402	236.0	191.0	2.56410
10.79880	9.02366	260.0	211.0	2.17364
12.27810	13.31360	282.0	236.0	2.70130
13.31360	10.79880	301.0	260.0	0.68619
15.08870	12.27810	341.0	282.0	2.85823
16.12420	13.31360	373.0	301.0	2.34216
17.30760	15.08870	390.0	341.0	2.71702

## INFILTROMETER

BORETS RADIE 7.5CM  
RINGENS RADIE 19.5CM

DATUM 770505 BENAMNING 26.....  
MARKVATTENBAND 2 DATAFIL NR 41

KLOCKAN TID MIN	AVSANKNING I CM	TIDEN I MIN	TOTALMÄNGD I MM
9 30.0	1.7	0.0	0.00000
9 35.0	3.5	5.0	2.66272
9 42.0	4.9	12.0	4.73372
9 56.0	7.1	26.0	7.98816
10 16.0	9.1	46.0	10.94670
10 33.0	10.3	63.0	12.72180
10 55.0	11.7	85.0	14.79280
11 14.0	13.2	104.0	17.01180
11 44.0	15.6	134.0	20.56210
12 2.0	17.1	152.0	22.78180
12 24.0	18.6	174.0	25.00000
12 44.0	19.8	194.0	26.77510
13 9.0	21.3	219.0	28.99400
13 33.0	23.3	243.0	31.95266
13 54.0	24.6	264.0	33.87570
14 14.0	26.3	284.0	36.39050
14 53.0	28.9	323.0	40.23660
15 25.0	31.5	355.0	44.08280
15 56.0	33.7	386.0	47.33720

## INTENSITET

PUNKT(X+2)	PUNKT(X)	PUNKT(T+2)	PUNKT(T)	MM/TIMME
4.73372	0.00000	12.0	0.0	23.66960
7.98816	2.66272	26.0	5.0	15.21556
10.94670	4.73372	46.0	12.0	10.96400
12.72180	7.98816	63.0	26.0	7.67617
14.79280	10.94670	85.0	46.0	5.91767
17.01180	12.72180	104.0	63.0	6.27064
20.56210	14.79280	134.0	85.0	7.06444
22.78180	17.01180	152.0	104.0	7.81149
25.00000	20.56210	174.0	134.0	6.65405
26.77510	22.78180	194.0	152.0	5.73305
28.99400	25.00000	219.0	174.0	5.22533
31.95266	26.77510	243.0	194.0	5.33979
33.87570	28.99400	264.0	219.0	6.58693
36.39050	31.95266	284.0	243.0	6.49148
40.23660	33.87570	323.0	264.0	6.40071
44.08280	36.39050	355.0	284.0	6.50653
47.33720	40.23660	386.0	323.0	6.76247

KLICKEN	AVSARKNING	TIDEN	1 CM	1 MIN	1 MN	TO TLMLMHG	TIIM MIN	MIN	PUNKT(X)	PUNKT(X+2)	PUNKT(T+2)	NM/TIIM	PUNKT(X+2)	INTENSITET	
9 40.0	1.4 0.0	0.0	0.0	0.0	0.0	0.00000	10 55.0	25.0 23.6	15.0	15.0 91120	34.91120	10 17.0	25.0	52.0 50.9	
10 34.0	18 52.0	96.2	94.8	72.0	54.0	109.61560	11 41.0	26.2 121.0	95.0	74.0	26.2 148.0	11 43.0	1.6	149.6	
11 15.0	10 54.0	3.0	97.8	72.0	54.0	140.28600	12 45.0	43.5 191.5	165.0	143.0	22.2 213.2	13 45.0	65.2	213.2	
12 25.0	11 43.0	22.3	170.3	123.0	185.0	315.38466	13 14.0	2.6 241.5	214.0	352.24866	90.9 283.9	10 34.0	45.0	261.1	
13 11.0	13 11.0	90.9	299.9	185.0	195.0	353.40200	13 14.0	2.6 241.5	214.0	352.24866	90.9 283.9	10 34.0	45.0	261.1	
14 15.0	12 45.0	65.2	191.5	143.0	143.0	315.38466	13 14.0	2.6 241.5	214.0	352.24866	90.9 283.9	10 34.0	45.0	261.1	
15 26.0	11 43.0	43.5 191.5	170.3	123.0	185.0	283.28400	13 14.0	2.6 241.5	214.0	352.24866	90.9 283.9	10 34.0	45.0	261.1	
16 34.0	10 54.0	1.6	149.6	121.0	121.0	221.30100	13 14.0	2.6 241.5	214.0	352.24866	90.9 283.9	10 34.0	45.0	261.1	
17 25.0	12 45.0	22.3	170.3	123.0	123.0	221.30100	13 14.0	2.6 241.5	214.0	352.24866	90.9 283.9	10 34.0	45.0	261.1	
18 34.0	11 43.0	43.5 191.5	170.3	123.0	123.0	221.30100	13 14.0	2.6 241.5	214.0	352.24866	90.9 283.9	10 34.0	45.0	261.1	
19 40.0	1.4 0.0	0.0	0.0	0.0	0.0	0.00000	14 14.0	2.6 241.5	214.0	352.24866	90.9 283.9	10 34.0	45.0	261.1	
20 55.0	25.0	52.0 50.9	37.0	54.0	74.1	75.29580	21 14.0	2.6 241.5	214.0	352.24866	90.9 283.9	10 34.0	45.0	261.1	
21 15.0	20 45.0	1.6 149.6	121.0	121.0	121.0	221.30100	21 14.0	2.6 241.5	214.0	352.24866	90.9 283.9	10 34.0	45.0	261.1	
22 25.0	21 15.0	22.3	170.3	123.0	123.0	221.30100	22 25.0	22.3	170.3	123.0	123.0	221.30100	22 25.0	22.3	170.3
23 34.0	22 25.0	43.5 191.5	170.3	123.0	123.0	221.30100	23 34.0	2.6 241.5	214.0	352.24866	90.9 283.9	10 34.0	45.0	261.1	
24 15.0	23 34.0	65.2	191.5	143.0	143.0	221.30100	24 15.0	2.6 241.5	214.0	352.24866	90.9 283.9	10 34.0	45.0	261.1	
25 26.0	24 15.0	45.0	143.0	121.0	121.0	221.30100	25 26.0	2.6 241.5	214.0	352.24866	90.9 283.9	10 34.0	45.0	261.1	
26 34.0	25.0	65.2	191.5	143.0	143.0	221.30100	26 34.0	2.6 241.5	214.0	352.24866	90.9 283.9	10 34.0	45.0	261.1	
27 15.0	26 34.0	43.5 191.5	170.3	123.0	123.0	221.30100	27 15.0	2.6 241.5	214.0	352.24866	90.9 283.9	10 34.0	45.0	261.1	
28 26.0	27 15.0	65.2	191.5	143.0	143.0	221.30100	28 26.0	2.6 241.5	214.0	352.24866	90.9 283.9	10 34.0	45.0	261.1	
29 34.0	28 26.0	43.5 191.5	170.3	123.0	123.0	221.30100	29 34.0	2.6 241.5	214.0	352.24866	90.9 283.9	10 34.0	45.0	261.1	
30 15.0	29 34.0	65.2	191.5	143.0	143.0	221.30100	30 15.0	2.6 241.5	214.0	352.24866	90.9 283.9	10 34.0	45.0	261.1	
31 26.0	32 15.0	43.5 191.5	170.3	123.0	123.0	221.30100	31 26.0	2.6 241.5	214.0	352.24866	90.9 283.9	10 34.0	45.0	261.1	
32 34.0	33 26.0	65.2	191.5	143.0	143.0	221.30100	32 34.0	2.6 241.5	214.0	352.24866	90.9 283.9	10 34.0	45.0	261.1	
33 15.0	34 26.0	43.5 191.5	170.3	123.0	123.0	221.30100	33 15.0	2.6 241.5	214.0	352.24866	90.9 283.9	10 34.0	45.0	261.1	
34 26.0	35 15.0	65.2	191.5	143.0	143.0	221.30100	34 26.0	2.6 241.5	214.0	352.24866	90.9 283.9	10 34.0	45.0	261.1	
35 34.0	36 26.0	43.5 191.5	170.3	123.0	123.0	221.30100	35 34.0	2.6 241.5	214.0	352.24866	90.9 283.9	10 34.0	45.0	261.1	
36 15.0	37 26.0	65.2	191.5	143.0	143.0	221.30100	36 15.0	2.6 241.5	214.0	352.24866	90.9 283.9	10 34.0	45.0	261.1	
37 26.0	38 15.0	43.5 191.5	170.3	123.0	123.0	221.30100	37 26.0	2.6 241.5	214.0	352.24866	90.9 283.9	10 34.0	45.0	261.1	
38 15.0	39 26.0	65.2	191.5	143.0	143.0	221.30100	38 15.0	2.6 241.5	214.0	352.24866	90.9 283.9	10 34.0	45.0	261.1	
39 26.0	40 15.0	43.5 191.5	170.3	123.0	123.0	221.30100	39 26.0	2.6 241.5	214.0	352.24866	90.9 283.9	10 34.0	45.0	261.1	
40 15.0	41 26.0	65.2	191.5	143.0	143.0	221.30100	40 15.0	2.6 241.5	214.0	352.24866	90.9 283.9	10 34.0	45.0	261.1	
41 26.0	42 15.0	43.5 191.5	170.3	123.0	123.0	221.30100	41 26.0	2.6 241.5	214.0	352.24866	90.9 283.9	10 34.0	45.0	261.1	
42 15.0	43 26.0	65.2	191.5	143.0	143.0	221.30100	42 15.0	2.6 241.5	214.0	352.24866	90.9 283.9	10 34.0	45.0	261.1	
43 26.0	44 15.0	43.5 191.5	170.3	123.0	123.0	221.30100	43 26.0	2.6 241.5	214.0	352.24866	90.9 283.9	10 34.0	45.0	261.1	
44 15.0	45 26.0	65.2	191.5	143.0	143.0	221.30100	44 15.0	2.6 241.5	214.0	352.24866	90.9 283.9	10 34.0	45.0	261.1	
45 26.0	46 15.0	43.5 191.5	170.3	123.0	123.0	221.30100	45 26.0	2.6 241.5	214.0	352.24866	90.9 283.9	10 34.0	45.0	261.1	
46 15.0	47 26.0	65.2	191.5	143.0	143.0	221.30100	46 15.0	2.6 241.5	214.0	352.24866	90.9 283.9	10 34.0	45.0	261.1	
47 26.0	48 15.0	43.5 191.5	170.3	123.0	123.0	221.30100	47 26.0	2.6 241.5	214.0	352.24866	90.9 283.9	10 34.0	45.0	261.1	
48 15.0	49 26.0	65.2	191.5	143.0	143.0	221.30100	48 15.0	2.6 241.5	214.0	352.24866	90.9 283.9	10 34.0	45.0	261.1	
49 26.0	50 15.0	43.5 191.5	170.3	123.0	123.0	221.30100	49 26.0	2.6 241.5	214.0	352.24866	90.9 283.9	10 34.0	45.0	261.1	
50 15.0	51 26.0	65.2	191.5	143.0	143.0	221.30100	50 15.0	2.6 241.5	214.0	352.24866	90.9 283.9	10 34.0	45.0	261.1	
51 26.0	52 15.0	43.5 191.5	170.3	123.0	123.0	221.30100	51 26.0	2.6 241.5	214.0	352.24866	90.9 283.9	10 34.0	45.0	261.1	
52 15.0	53 26.0	65.2	191.5	143.0	143.0	221.30100	52 15.0	2.6 241.5	214.0	352.24866	90.9 283.9	10 34.0	45.0	261.1	
53 15.0	54 26.0	43.5 191.5	170.3	123.0	123.0	221.30100	53 15.0	2.6 241.5	214.0	352.24866	90.9 283.9	10 34.0	45.0	261.1	
54 15.0	55 26.0	65.2	191.5	143.0	143.0	221.30100	54 15.0	2.6 241.5	214.0	352.24866	90.9 283.9	10 34.0	45.0	261.1	
55 15.0	56 26.0	43.5 191.5	170.3	123.0	123.0	221.30100	55 15.0	2.6 241.5	214.0	352.24866	90.9 283.9	10 34.0	45.0	261.1	
56 15.0	57 26.0	65.2	191.5	143.0	143.0	221.30100	56 15.0	2.6 241.5	214.0	352.24866	90.9 283.9	10 34.0	45.0	261.1	
57 15.0	58 26.0	43.5 191.5	170.3	123.0	123.0	221.30100	57 15.0	2.6 241.5	214.0	352.24866	90.9 283.9	10 34.0	45.0	261.1	
58 15.0	59 26.0	65.2	191.5	143.0	143.0	221.30100	58 15.0	2.6 241.5	214.0	352.24866	90.9 283.9	10 34.0	45.0	261.1	
59 15.0	60 26.0	43.5 191.5	170.3	123.0	123.0	221.30100	59 15.0	2.6 241.5	214.0	352.24866	90.9 283.9	10 34.0	45.0	261.1	
60 15.0	61 26.0	65.2	191.5	143.0	143.0	221.30100	60 15.0	2.6 241.5	214.0	352.24866	90.9 283.9	10 34.0	45.0	261.1	
61 15.0	62 26.0	43.5 191.5	170.3	123.0	123.0	221.30100	61 15.0	2.6 241.5	214.0	352.24866	90.9 283.9	10 34.0	45.0	261.1	
62 15.0	63 26.0	65.2	191.5	143.0	143.0	221.30100	62 15.0	2.6 241.5	214.0	352.24866	90.9 283.9	10 34.0	45.0	261.1	
63 15.0	64 26.0	43.5 191.5	170.3	123.0	123.0	221.30100	63 15.0	2.6 241.5	214.0	352.24866	90.9 283.9	10 34.0	45.0	261.1	
64 15.0	65 26.0	65.2	191.5	143.0	143.0	221.30100	64 15.0	2.6 241.5	214.0	352.24866	90.9 283.9	10 34.0	45.0	261.1	
65 15.0	66 26.0	43.5 191.5	170.3	123.0	123.0	221.30100	65 15.0	2.6 241.5	214.0	352.24866	90.9 283.9	10 34.0	45.0	261.1	
66 15.0	67 26.0	65.2	191.5	143.0	143.0	221.30100	66 15.0	2.6 241.5	214.0	352.24866	90.9 283.9	10 34.0	45.0	261.1	
67 15.0	68 26.0	43.5 191.5	170.3	123.0	123.0	221.30100	67 15.0	2.6 241.5	214.0	352.24866	90.9 283.9	10 34.0	45.0	261.1	
68 15.0	69 26.0	65.2	191.5	143.0	143.0	221									

Chalmers tekniska högskola  
GEOHYDROLOGISKA FORSKNINGSGRUPPEN

Institutionerna för  
Geologi  
Geoteknik med grundläggning  
Vattenbyggnad  
Vattenförsörjnings- och avloppsteknik

Meddelande:

- nr 1 Urbaniseringsprocessens inverkan på ytvattenavrinning och grundvattenbildning. Lägesrapporter (1972-07-01--1973-03-01). 1973. 100 sidor. 20:-. (Utgången).
- nr 2 Leif Carlsson: Grundvattenavsänkning Del 1. Evaluering av akviferers geohydrologiska data med hjälp av provpumpnings-data. 1973. 67 sidor. 20:-.
- nr 3 Leif Carlsson: Grundvattenavsänkning Del 2. Evaluering av lågpermeabla lagers hydrauliska diffusivitet med hjälp av provpumpningsdata. 1973. 17 sidor. 15:-.
- nr 4 Viktor Arnell: Nederbördsmätare. En sammanställning av några olika mätartyper. 1973. 39 sidor. 15:- (Utgången).
- nr 5 Viktor Arnell: Intensitets-varaktighetskurvor för häftiga regn i Göteborg under 45-årsperioden 1926 - 1971. 1974. 68 sidor. 20:-.
- nr 6 Urbaniseringsprocessens inverkan på ytvattenavrinning och grundvattenbildning. Lägesrapporter (1973-03-01--1974-02-01). 1974. 167 sidor. 20:-
- nr 7 Olov Holmstrand, Per O Wedel: Ingenjörsgeologiska kartor - litteraturstudier. 1974. 55 sidor. 15:-.
- nr 8 Anders Sjöberg: Interim Report. Mathematical Models for Gradually Varied Unsteady Free Flow. Development and Discussion of Basic Equations. Preliminary Studies of Methods for Flood Routing in Storm Drains. 1974. 74 sidor. 20:-. (Utgången).
- nr 9 Olov Holmstrand (red.): Seminarium om ingenjörsgeologiska kartor. 1974. 38 sidor. 15:-. (Utgången).
- nr 10 Viktor Arnell, Börje Sjölander: Mätning av nederbördssinteter i Göteborgsregionen. Stationsbeskrivning. 1974. 53 sidor. 15:-. (Utgången).
- nr 11 Per-Arne Malmquist, Gilbert Svensson: Rapport från arbetsgruppen "Dagvattnets beskaffenhet och egenskaper". Sammanställning av utförda dagvattenundersökningar i Stockholm och Göteborg 1969-1972. The character and properties of urban storm water results from investigations in Stockholm and Gothenburg 1969-1972. English summary. 1974. 46 sidor. 20:-.
- nr 12 Viktor Arnell, Sven Lyngfelt: Interimrapport. Beräkningsmodell för simulerings av dagvattenflöde inom bebyggda om-

- nr 27 Anders Eriksson, Per Lindvall: Lokalt omhändertagande av dagvatten. Resultatredovisning av enkät rörande drift och konstruktion av perkolationsanläggningar. 1978. 126 sidor. 25:-.
- nr 28 Olov Holmstrand (red.): Lokalt omhändertagande av dagvatten. Delrapport nr 2 från perioden 1977-02-01--1977-11-30. 1978. 69 sidor. 20:-.
- nr 30 Lars O Ericsson: Infiltrationsprocessen i en dagvattenmodell. Teori, Undersökning, Mätning och Utvärdering. 1978. 45 sidor. 20:-.
- nr 31 Lars O Ericsson: Permeabilitetsbestämning i fält vid perkolationsmagasin. Dimensionering. 1978. 15 sidor. 15:-.